ANNEXE 1

Méthodes

Actualisation 2015

L'annexe 6 de la Convention pour la Conservation de la Biodiversité (CCB 2008) présente les plans de suivi des milieux « vivants » (biologiques), les indicateurs sélectionnés, les positions des stations et la méthodologie succincte pour chacun des suivis.

Elle reprend aussi les suivis physico chimiques des arrêtés ICPE en leur additionnant les thèmes biologiques.

Vale NC se conforme à ces prescriptions

Table des matières

- 1. Qualités physico chimiques de l'eau de mer
 - 1.1. Structure de la colonne d'au
 - 1.2. Qualité chimique de l'eau
 - 1.3. Sels nutritifs
 - 1.4. Hydrocarbures
 - 1.5. Métaux
 - 1.6. Résultats
 - 1.7. Données météorologiques
- 2. Ecosystèmes coralliens et populations associées
 - 2.1. Liste des types de substrats suivis par méthode LIT
 - 2.2. Liste des poissons comptabilisés selon le plan de suivi CCB-
 - 2.3. Recommandations
 - 2.4. Journal de plongée
 - 2.5. Minimisation des bais
 - 2.6. Missions avec entretiens des stations sous-marines
 - a)-Entretien
 - b)-Evaluation (LIT; Benthos, poissons)
- 3. Flux de sédiments
- 4. Qualité des sédiments
- 5. Taux de sédimentations
- 6. Transplantation de bivalves
- 7. Evolution temporelle des indicateurs et synthèse
- 8. Bibliographie

1. QUALITE DES EAUX MARINES : STRUCTURE DE LA COLONNE D'EAU ET PARAMETRES PHYSICO- CHIMIQUES

Les paramètres mesurés ou analysés dans les échantillons d'eau prélevés donnent des indications instantanées et ponctuelles.

- ▶ Les mesures et les prélèvements doivent être positionnés par rapport aux cycles des marées et aux conditions météorologiques de la saison et de la semaine précédant la mission (cumul des pluies).
- ▶ Les méthodes de prélèvements des échantillons d'eau et l'utilisation des sondes doivent garantir une absence de biais par des contaminations extérieures (par la coque du bateau et son *antifouling*, la remise en suspension du substrat lors des prélèvements profonds, les manipulations des échantillonneurs, la qualité des flacons appropriés et leur transport /stockage, notamment pour les analyses des métaux et la recherche des hydrocarbures qui demandent des flacons spécifiques.
- ▶ Une certification du laboratoire cocontractant qui effectue les prélèvements, en matière de métrologie environnementale est un atout recommandé.
- ▶ Les missions de suivi sont sous-traitées et consistent à :
 - Prélever les échantillons
 - Analyser les échantillons.
 - Effectuer les rapports de leur mission qui doivent comprendre une analyse raisonnée des résultats et une étude de leur évolution spatiale et temporelle.

Ces missions sont confiées par Vale Nouvelle-Calédonie à un (ou plusieurs) bureaux d'études, instituts ou un laboratoires externalisés ; celui-ci doit être techniquement équipé pour effectuer ce travail en toute sécurité, notamment en moyens navigants, dans des délais compatibles avec les fréquences des suivis et avec des techniques d'analyses permettant des limites de quantification adaptées pour respecter les plans de suivi et permettre une validation et une comparaison temporelle des résultats.

Vale NC recommande l'accréditation aux laboratoires sous-traitants concernés, ou/et une insertion dans les circuits internationaux d'inter-calibration ainsi qu'une démarche de normalisation notamment à l'égard d'un management de la qualité ISO 9001-2008. Le laboratoire Vale NC est quant à lui accrédité COFRAC 17 025.

1.1. Structure physique de la colonne d'eau

Les paramètres suivis en sub-surface (à moins de 3 m de profondeur), à mi- profondeur et au fond (sans toucher le fond) de la colonne d'eau, sur chacune des 14 stations, sont les suivant :

- Température,
- Salinité,
- Fluorescence,
- Turbidité.
- Un capteur d'oxygène dissous

Les mesures de température, salinité, fluorescence et turbidité sont nécessaires pour déterminer la stratification verticale des masses d'eau et pour détecter la présence (ou pas) d'une thermocline.

• <u>Température</u>: elle dépend de la saison, des apports d'eau douce et de l'hydrodynamisme du milieu selon les marées et les « cisaillements » entre masses d'eau, notamment à l'approche

d'un passe lagon/mer de fort hydrodynamisme. Une thermocline peut être enregistrée (ou pas) grâce aux relevés instantanés des sondes multiparamétriques.

La température peut aussi être enregistrée en continue durant plusieurs semaines sur certains points, notamment sur les cages qui contiennent des bio indicateurs immergés.

Salinité: En milieu côtier et estuarien, la salinité est un traceur des apports d'eaux douces. En fonction des courants, des vents et de l'hydrodynamisme de la zone, les eaux dessalées de moindre densité peuvent restées cantonnées en surface durant plusieurs jours et affecter les zones peu profondes des fonds de baie lorsqu'elles y restent confinées. Ce phénomène dépend de la pluviométrie notamment en régime météorologique sujet à fortes dépressions tropicales (qui peuvent dépasser 400 mm de pluie /24 h), de la topologie d'embouchure des rivières et du régime des vents qui accentuent le confinement ou pas, ainsi que des courants de marées.

Remarque : La salinité est exprimée en unité °/° (exemple : 37 grammes pour 1000) le plus communément et pour une compréhension aisée des lecteurs, cependant elle est déduite d'un rapport entre deux conductivités selon la technique des sondes CTD, elle devrait donc être exprimée sans unité, certains logiciels fournissent une courbe sans unité mais la plupart indiquent la salinité en °/°.

<u>Turbidité</u>: La turbidité est définie comme étant la « réduction de transparence d'un liquide due à la présence de <u>substances non dissoutes</u> ». (Aminot et Kérouel 2004). Elle peut indiquer l'existence d'apports en particules (MES) provenant des rivières (Exemples: apports terrigènes caractéristiques de la baie de Prony, des stations côtières du Nord du canal de la Havannah et du canal Woodin), d'une remise en suspension de dépôts sédimentaires du fond (par exemple en baie Kué par vents de secteur Sud de plus de 25 nœuds) ainsi que de florescence planctonique.

La mesure NTU de la turbidité est une méthode néphélométrique normalisée pour mesurer la turbidité de l'eau. La turbidité est obtenue par la mesure de la lumière diffusée par les particules à 700 nm. Le turbidimètre mesure l'intensité de la lumière dispersée à un angle de 140 degrés par rapport au trajet de la lumière incidente.

La linéarité de la réponse permet de calibrer le capteur avec une solution de Formazine et de l'exprimer en NTU (Nephelometric Turbidity Unit).

<u>Cette diffusion est surtout liée aux matières en suspension</u> (MES) et elle dépend de la taille, de la forme et de l'indice de réfraction des particules ainsi que de la longueur d'onde de la lumière incidente. <u>Les substances dissoutes agissent très peu sur ce coefficient de diffusion</u> (dans le cas d'une eau sans particules).

<u>La transparence de l'eau</u>, quant à elle, dépend de la coloration de l'eau (liée à la présence de substances dissoutes) et aussi de sa teneur en MES, de l'érosion des fonds marins et de l'activité biologique.

• <u>La fluorescence</u> permet d'estimer la concentration chlorophylle-a, et donc de quantifier globalement la biomasse du phytoplancton. Un éventuel pic de biomasse au sein de la colonne d'eau peut être détecté. La concentration en chlorophylle-a est obtenue par excitation des pigments à la longueur de 470 nm qui en retour fluorescent. La linéarité de la réponse permet de calibrer le capteur avec une solution de Thalassiosiria weissflogii (culture de phytoplancton) et de l'exprimer en en CEC (Concentration équivalente en chlorophylle).

La structuration verticale des masses d'eau, sur chacune des stations échantillonnées, est obtenue par des profils verticaux réalisés à l'aide d'une sonde CTD SBE19 équipée de capteurs.

La fréquence d'acquisition des données étant de 0,5 secondes et la vitesse de descente d'environ 0,5 m/s, une série d'acquisition est générée tous les 25 cm.

Les données des capteurs sont stabilisées avant la descente de la sonde et l'enregistrement est uniquement effectué lors de la descente de la sonde.

L'étalonnage de la sonde est réalisé régulièrement conformément aux prescriptions du fabriquant et aux préconisations AQ/CQ avec audit ISO du laboratoire en 2015.Les fiches de calibrations sont disponibles au laboratoire concerné.

Les paramètres mesurés par la sonde CTD et les unités correspondantes sont les suivants :

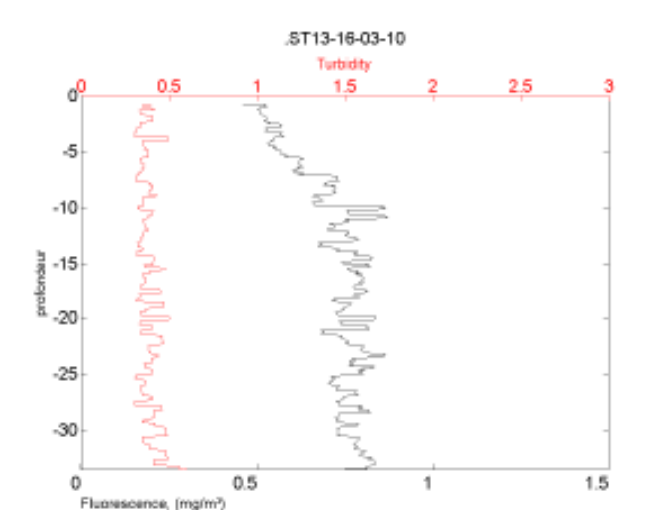
- <u>La pression</u> (elle permet de calculer la profondeur, une fois convertie en unités métriques de profondeur) ;
- La salinité (déduite de la mesure de la conductivité, sans unité, ou bien convertie en °/°)
- La température (°C);
- <u>La turbidité</u>: elle est obtenue par mesure de la néphélométrie exprimée en NTL (Méthode EPA);
- <u>La fluorescence</u> in-vivo est exprimée en concentration équivalente en chlorophylle (CEC) L'unité est donnée en mg/m³.

Tableau 1: Méthodes et limites de détection pour le suivi de la structure de la colonne d'eau de mer avec des sondes multiparamétriques

Parametres	Gамме	Precision	RESOLUTION
Conductivité (S.m ⁻¹)	0 - 9	0,0005	0,0007
Température (°C)	-5 à +35	0,005	0,0001
Pression (db)	0 - 350	0,35	0,007
Turbidité (NTU)	0 - 25	NA*	0,01
Fluorescence (μg.L ⁻¹ Chl)	0 - 50	NA*	0,025

Pour chacune des stations suivies des profils verticaux obtenus sont présentés selon les schémas suivants qui permettent une lecture rapide adaptée à cette méthodologie (cf. figures suivantes) :

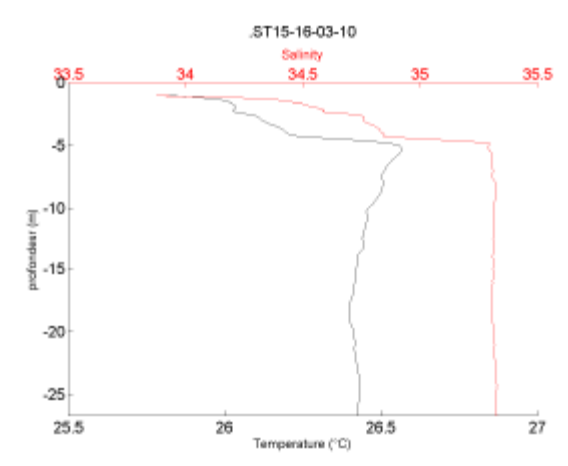
Figure 1 : Structure de la colonne d'eau sur la station ST13, le 16-03-10 Turbidité et fluorescence de la surface (0) jusqu'au fond (-36m)



La figure ci-dessus indique que la turbidité et la fluorescence ont été enregistrées par une sonde multiparamétrique, entre 0 et 36 m de fond, (à -37 m le fond du lagon est atteint), sur la station St13 le 16/03/2010 (pour cet exemple) ; l'état de la marée et la pluviométrie au moment précis de ces relevés ont été notés. Une telle structure est dite « verticalement homogène », elle est caractéristique du centre du canal de la Havannah ; par opposition à la structure suivante qui montre que la colonne

d'eau n'est pas homogène car une couche d'eau moins salée et plus fraiche est présente en surface (influence de l'eau douce des creeks). Cela est caractéristique de la baie du Prony,

Figure 2 : Structure de la colonne d'eau sur la station ST15, le 16-03-10, salinité et température, de la surface jusqu'au fond



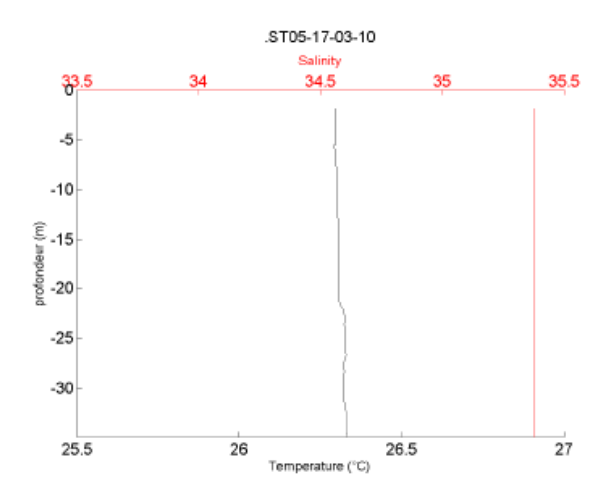
La figure ici dessus signifie que la salinité et la température entre 0 et 26 m de profondeur ont été enregistrées par la sonde multiparamétrique CTD sur la station St15 (en face le creek de la Baie Nord en baie du Prony, le 13/03/2010, pour cet exemple). Le fond du lagon est donc à -27 m. L'eau de surface véhiculée par ce creek est nettement détectée et indiquée sur le profil des courbes par une dessalure sur des 5 premiers mètres d'eau.

Les prélèvements d'échantillons d'eau de surface (effectués entre -2 et -3 m) capteront donc bien cette couche superficielle de forte empreinte terrigène, en hydro région de fonds de baie. Cette couche dessalée est aussi à une température plus basse de 1°C.

L'état de la marée au moment de ce relevé a été noté, ainsi que la pluviométrie durant la journée de la mission et les 5 jours précédents. Ils sont corrélés à la structure de la colonne d'eau.

Dans le canal de la Havannah le profil vertical est homogène et non influencé par l'effluent ou par des eaux douces de creeks côtiers (courbe verticalement rectiligne) Cf. exemple ci-dessus sur la station St05.

Figure 3 : Structure de la colonne d'eau sur la station ST05, le 17-03-10, salinité et température, de la surface jusqu'au fond



1.2. Qualité chimique de la colonne d'eau

Les paramètres analysés dans les échantillons d'eau donnent des indications instantanées et ponctuelles.

Les prélèvements doivent être positionnés par rapport aux cycles des marées et aux conditions météorologiques de la saison et de la semaine précédant la mission (cumul des pluies).

<u>-Les prélèvements d'eau</u> sont réalisés à l'aide de bouteilles Niskin. Le flaconnage utilisé pour le stockage des prélèvements d'eau est en PEHD (sauf exigence spécifique de la substance à analyser). Les échantillons sont conditionnés directement à bord, après le prélèvement, puis conservés au froid (4 °C) jusqu'à leur analyse en laboratoire qui se fait le jour même du prélèvement pour les paramètres non conservables suivants : la mesure du pH, prétraitement pour l'analyse des MES, des éléments majeurs dissous.

Sur le terrain les prélèvements sont effectués en portant la plus grande attention aux manipulations par un ingénieur ou un technicien formé, afin d'éviter toute contamination par la coque du bateau, les fonds marins qui ne doivent pas être mis en suspension lors des prélèvements profonds, ou par les échantillonneurs eux-mêmes.

Pour déterminer la qualité chimique de la colonne d'eau les paramètres suivants : pH, matières en suspension (MES), calcium, potassium, magnésium, sodium, chlore, et sulfates sont analysés et indiqués à 3 profondeurs différentes pour chacune des stations.

<u>-La mesure des matières en suspension (MES)</u> est importante dans les milieux côtiers et estuariens car elle reflète l'importance des apports terrigènes et la remise en suspension de sédiments sous l'influence des conditions météorologiques (vent, pluie...). Les MES influencent également la production primaire (chlorophyllienne): une charge particulaire élevée peut en effet modifier l'épaisseur de la couche euphotique.

Cependant : Lors des mesures instantanées sur des échantillons d'eau, le volume d'eau de mer nécessaire pour atteindre une quantité de matière cohérente pour les pesées de MES (en fonction du seuil de sensibilité des balances) est considérable ; la turbidité affichée grâce aux sondes CTD donne une information plus « parlante ». D'autre part :

Le prélèvement instantané d'échantillons d'eau avec analyse de la concentration en MES ne doit pas être confondu avec le suivi intégrateur des flux de particules dont la méthodologie est détaillée plus loin.

<u>-Pour le pH</u> la mesure en laboratoire doit être effectuée le soir même du prélèvement. La fiabilité de la mesure ne peut être assurée que quelques heures après le prélèvement. pH-mètre WTW, calibrés au valeurs de 4, 7 et 8.

<u>-Les ions majeurs</u>: le suivi de la minéralisation de l' eau de mer par les ions majeurs (Ca²⁺, K⁺, Mg²⁺, Na⁺ et Cl⁻, SO₄²⁻, ...) revêt une importance moindre, voire optionnelle. Le suivi de la salinité sur toute la colonne d'eau est déjà informatif et un suivi du degré de minéralisation de l'eau de mer par échantillonnages ponctuels semestriels ne détectera pas des modifications significatives. Il est cependant effectué selon les prescriptions réglementaires 2008 du plan de suivi du milieu marin.

Le tableau suivant présente les méthodes et les limites de détections de chaque paramètre analysé pour déterminer la structure chimique de la colonne d'eau suivie.

Limites de **Paramètres** Analyses en laboratoire détection pH mètre WTW рΗ 0,01 UpH Filtre Nucleopore 0,45 µm de porosité MES 0,1 mg/L ICP-OES (Inductively Coupled Ca Plasma-Optical Emission K (Varian-SpectrAA-300/400). 0,050µg/L Na Spectroscopy, marque Varian, Mg modèle 730 ES SO₄ Chromatographie ionique capillaire (Waters, CIA); CI Méthode de Mohr

Tableau 2 : Méthodes et limites de détection pour le suivi de la qualité de l'eau de mer

1.3. ► Sels nutritifs

Les prélèvements d'eau sont réalisés à l'aide de bouteilles Niskin. Le flaconnage utilisé pour le stockage des prélèvements d'eau est en PEHD ou verre borosilicaté, en fonction des exigences spécifique de la substance à analyser. Les échantillons sont conditionnés directement à bord, après le prélèvement, puis conservés au froid (4 °C ou congelés à -20°C) jusqu'à leur analyse au laboratoire. Sur le terrain, les opérations suivantes sont réalisées le jour même du prélèvement pour les paramètres non conservables suivants : (i) prétraitement pour l'analyse de la chlorphylle-a, des nutrients NOP POP et COP et (ii) analyse de l'ammonium (NH4).

Les paramètres suivants sont suivis sur chacune des 14 stations et aux 3 profondeurs (dub-surface, médiane et de fond), cela représente 488 données /an :

- L'ammonium (NH₄⁺): dans le milieu marin, la forme prépondérante de l'azote ammoniacal est l'ammonium (NH₄⁺). Naturellement, il provient des excrétions animales et de la dégradation bactérienne des composés organiques azotés. Dans les régions tropicales les teneurs sont généralement très faibles, de l'ordre de quelques dizaines de nano-moles.
- Les nitrate et les nitrites (NO₃ et NO₂): l'ion nitrate NO₃ est la forme oxydée stable de l'azote en solution aqueuse. Les ions nitrates entrent dans le cycle de l'azote comme support principal de la croissance du phytoplancton qui, une fois dégradé par les bactéries, restitue au système l'azote sous forme minérale (NO₃). Si la vitesse de régénération est différente de la vitesse d'utilisation, il en résulte des concentrations en nitrates variables qui peuvent être un facteur influençant la croissance du phytoplancton.
- Les phosphates (PO₄²⁻): dans l'eau de mer, le phosphore dissous est essentiellement présent sous forme d'ions ortho-phosphates (PO4 ²⁻). Leur concentration dépend de phénomènes physiques et biologiques ou chimiques. Les teneurs sont généralement très faibles en surface et augmentent avec la profondeur au-dessous de la zone euphotique. En milieu côtier, une augmentation des concentrations est un signe d'influence terrigène, le plus souvent sous pression agricole ou urbaine.
- L'azote organique dissous NOD et le phosphore organique dissous POD: la contribution naturelle de l'azote et du phosphore provient de la dégradation de matière de nature biogénique, qu'elle soit d'origine océanique ou terrestre. D'une manière générale, la concentration en composés dissous est très faible, particulièrement dans l'océan.

Ces paramètres sont liés à des rejets de matières organiques et peuvent être considérés comme optionnels lors de suivis de rejets minéraux et en dehors de l'influence d'agglomérations, hôtels, zones agricoles...

Pour alerter en cas d'hypoxie, **le suivi de la concentration en oxygène dissous** sur l'ensemble de la colonne d'eau, par l'ajout d'un détecteur dédié sur la sonde CTD, est envisagé car plus pertinent.

 Azote, phosphore et carbone particulaires: la distinction entre la matière dissoute et particulaire est arbitraire; cependant, les études environnementales considèrent généralement que la limite de taille est de 0,45 µm pour les séparer (Strickland & Parsons, 1972). La fraction particulaire de ces éléments N, P et C constitue des matières en suspension de tailles diverses transportées au sein des masses d'eau. Leur origine est océanique, terrestre voire éolienne. Les concentrations présentent d'ordinaire un gradient côte-large et peuvent montrer des discontinuités verticales en fonction de l'existence ou non de couches turbides.

ANNEXE 1. Méthodologies

- Chlorophylle et phéo-pigments: la chlorophylle est indispensable à la photosynthèse des algues, son dosage permet donc d'estimer la biomasse phyto-planctonique et de ce fait le niveau trophique (oligotrophie/ eutrophie) du milieu. Sa dégradation donne de nombreux composés, dont principalement les phéo-pigments.
- Les silicates: ils constituent l'essentiel des squelettes de divers organismes marins. Leur concentration dans l'eau de mer, sous forme de silicates (SiO4 ⁴), qui peut devenir insuffisante en raison de sa très faible solubilité, varie en fonction de l'origine et de la nature des eaux. Les concentrations en surface sont généralement très faibles, mais elles augmentent progressivement à mesure que l'on se rapproche des côtes (ou des fonds abyssaux)

Tableau 3: Méthodes et limites de détection pour le suivi des éléments nutritifs et autres paramètres suivis en milieu marin

Paramètres	Méthodes : adaptées spécifiquement au milieu oligotrophe marin	Normes et publications	Limite de détection
NH ₄	Fluorimètre de terrain	Homes et Al 1999	1,5 nmol/L
NOD	Auto analyser Technicon		0,02 μmol/L
POD	Auto analyser Technicon	Raimbault et Al 1999	10 µmol/L
NO ₂ + NO ₃	Auto analyser Technicon	Outot 1988	0,002 µmol/L
PO ₄	Auto analyser Technicon	Murphy et Riley 1962	0,01 µmol/L
SiO₄	Auto analyser Technicon	Fanning et Pilson 1973	0,05 µmol/L
POP	Auto analyser Technicon	Raimbault et Al 1999	10 μmol/L
CHN	Auto analyser Technicon		0,05 μg/L
Chlorophylle a	Fluorimètre		0,05 μg/L
MES	Filtration sur membrane spécifique		0,1 mg/L
pН	Electrode au Calomel		0,01 unité de pH

La méthodologie des analyses avec pré concentration a été développée à l'IRD de Noumea afin de permettre une analyse des métaux en contractions traces en matrice saline, Vale NC encourage une démarche AQ/CQ et une certification, et/ou une accréditation des laboratoires sur le territoire. Certains paramètres suivis demandent l'exportation des échantillons en métropole ou en Australie ce qui retarde la parution des résultats.

1.4. ► Hydrocarbures totaux(HT)

- -Des sous-échantillons sont collectés à partir des prélèvements en bouteilles General Oceanics, modèle Go-Flo (Coating interne en Teflon®).L'utilisation de ce type de flaconnage est nécessaire.
- -Les eaux sont conditionnées dans des flacons en verre afin d'éviter tout contact prolongés avec des matières plastiques pouvant induire une contamination potentielle.

L'analyse des hydrocarbures totaux est effectuée d'après la norme NF T90-203 ou DINEN ISO 9377-2. La définition de l'indice en hydrocarbure dissous revient au dosage des hydrocarbures des chaînes carbonées comprises entre C10 et C40 par chromatographie gazeuse (GC/FID). Cette méthode permet de doser 0,1 mg/l d'hydrocarbures. Elle est cependant moins sensible que l'ancienne norme NF T90-114 utilisant la méthode au CCl4 aujourd'hui interdite en raison de la très haute toxicité du solvant organique.

Tableau 4: Méthodes et limites de détection pour la détection d'hydrocarbures

Paramètres	Méthode	Normes et publications	Limite de détection
нт	Du laboratoire : Micropolluants Technologie S.A., Thionville, France	Norme NF T90-203 ou bien DINEN ISO 9377-2	0,1mg/L

1.5. ► Métaux

Des sous-échantillons sont collectés à partir des prélèvements en bouteilles General Oceanics, modèle Go-Flo (Coating interne en Teflon®). <u>L'utilisation de ce type de flaconnage est nécessaire</u> car des biais seraient engendrés sur des concentrations aussi infimes en métaux si le flaconnage n'était pas adapté. Le flaconnage doit avoir été préalablement décontaminé avec soins aux acides forts puis rincé à l'eau ultra pure. Les échantillons doivent être immédiatement placés à 4°C.

Les éléments métalliques suivants sont analysés : Nickel (Ni), cobalt (Co), manganèse (Mn), fer (Fe), chrome total Cr et Cr (VI), arsenic (As), cadmium (Cd), cuivre (Cu), plomb (Pb), zinc (Zn).

Le plan de suivi de la qualité de l'eau de mer a sélectionné ces métaux parce que la concentration des éléments métalliques naturellement contenus dans les roches latéritiques du Sud est distribuée selon un gradient côte-large très net, notamment pour: **Mn, Ni, Co et Cr**, ce gradient est un bon indicateur du niveau d'influence terrigène.

Tandis que : **As, Cu et Fe** montrent un comportement inverse. Le cuivre suit cependant un comportement moins prévisible que le fer.

Les stations influencées par les masses d'eau océaniques se distinguent toujours clairement des stations côtières ou de la baie de Prony, avec une concentration d'influence marine particulièrement homogène.

Les concentrations **en Cd et Pb** sont inférieures aux limites de détection compte tenu des très basses teneurs de ces métaux dans les roches latéritiques du Sud calédonien, cependant ils sont recherchés.

D'après le guide des suivis marin Zoneco / CNRT 2011, il est conseillé de suivre les métaux suivant :

- Activité minière : Co, Cr, Ni Mn
- Activité portuaire : Cu et Zn,
- Activité urbaine : Ag, Cd, Pb, Hg, Zn, Cu

Vale NC présente des activités portuaires, industrielles et d'extractions minières, VNC suit par arrêté ICPE: Co, Cr, Ni, Mn, Cu, Zn, CrVI, As, Fe, Pb et Cd. Le Hg a été ajouté poncutellment ponctuellment en 2014.

- La corrélation avec la pluviométrie de la semaine antérieure au prélèvement est effectuée systématiquement.

Les difficultés liées à la mesures de métaux en concentrations traces dans une matrice saline ont conduit au développement de nouvelles techniques par l'IRD de Nouméa, afin de déceler des variations infimes.

Une méthode de pré concentration (X250) a été mise en place dans cet objectif par le laboratoire de l'IRD puis AEL., cette pré-concentration permet de doser Co, Cu, Fe, Mn, Ni et Zn par ICP-OES.

Tableau 5 : Méthodes et limites de détection pour le suivi des métaux en milieu marin (2015)

Analyses en laboratoire Paramètre	Méthode et normes -Publication	Limite de quantification
Со	Pré-concentration en labo de terrain puis élution en labo – ICP OES/ Moreton et Al (2009)	0,027 µg/L
Cd	Pré-concentration en labo de terrain puis élution en labo – ICP OES/ Moreton et Al (2009)	0,025 µg/L
Cu	Pré-concentration en labo de terrain puis élution en labo – ICP OES/ Moreton et Al (2009)	0,025 µg/L
Fe	Pré-concentration en labo de terrain puis élution en labo – ICP OES/ Moreton et Al (2009)	0,068 µg/L
Mn	Pré-concentration en labo de terrain puis élution en labo – ICP OES/ Moreton et Al (2009)	0,028 μg/L
Ni	Pré-concentration en labo de terrain puis élution en labo – ICP OES	0,022 g/L
Pb	Pré-concentration en labo de terrain puis élution en labo – ICP OES/ Moreton et Al (2009)	0,150 µg/L
Zn	Pré-concentration en labo de terrain puis élution en labo – ICP OES/ Moreton et Al (2009)	
Cr/CrVI	Achterberg et Van den Berg 1994	0,050 μg/L
As	Piech et Kubiak 2006	0,033 μg/L
+ Hg	NF EN ISO 17852 0,005μg/L	

AQ/CQ: Le laboratoire démontre que des échantillons certifiés pour le dosage des éléments traces (TM-26.3 et TMDA-61) délivrés par la société Environnement Canada sont intercalés dans chaque série d'analyses pour valider la calibration. Les résultats de cette calibration sont donnés en annexe de chaque rapport.

Un travail de vérification métrologique et AQ/CQ est entrepris (avec double ou triple analyses des métaux par plusieurs laboratoires respectant des méthodologies comparables) ; et avec des prélèvements d'échantillons en double sur une même station.

Les concentrations analysées sont infimes (de l'ordre de 0,000001 g/Litre) aussi il est très important d'éviter toute contamination, en manipulant les échantillons, en touchant la coque du bateau (antifouling), se rapprochant d'un gaz d'échappement du moteur ou en fumant etc. Cette méthodologie validée par la direction de l'environnement de la Province Sud et l'IRD de Nouméa est très sensible et garantit une surveillance optimale du milieu marin. Ne pas contaminer les échantillons lors des prélèvements et du flaconnage est essentiel avec de telles concentrations de métaux extrêmement basses.

A cet égard la formation des échantillonneurs est nécessaire avec un niveau d'ingénieur ou technicien supérieur qui correspond à ce type de prélèvements marin.

Le rapport doit présenter le nom et les compétences des échantillonneurs de terrain.

1.6. ► Les résultats semestriels

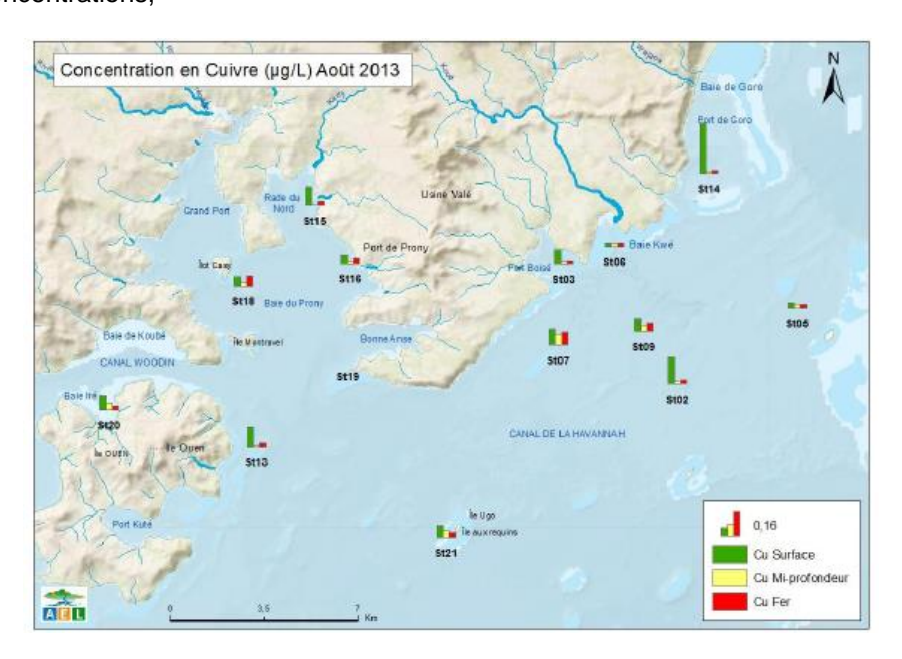
Ils sont schématisés et synthétisés pour chaque paramètre selon l'exemple donné sur les figures suivantes. La présentation des rapports doit être pérennisée car elle permet une lecture facilitée.

A minima selon certains paramètres « clefs » sont présentées à la fois leur répartition spatiale et par leur évolution temporelle afin de ne pas alourdir un rapport qui concerne 36 paramètres suivis sur 3 profondeurs et 14 stations

Les comparaisons spatiales et temporelles doivent être présentées de façon synthétique et formatée, rapport après rapport. Exemple ci-dessous.

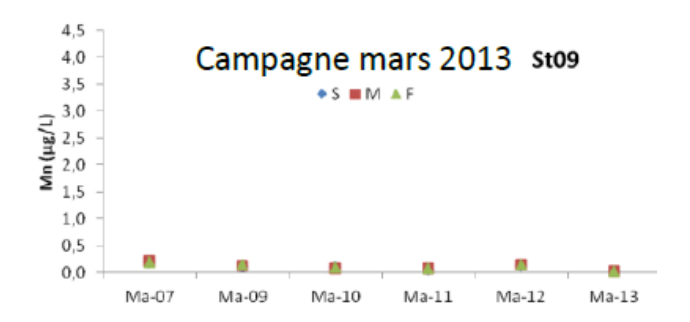
Figure 4 : Concentrations spatiales instantannées en cuivre dissous (Cu) dans la colonne d'eau - Echantillonnage en sub-surface, à mi- profondeur et au fond, canal de la Havannah et baie de Prony

<u>Comparaisons spatiales</u> au temps t : Paramètre suivi, date de la mission, stations, 3 profondeurs et unités des concentrations,



<u>Comparaisons temporelles</u> sur une station (St09 sur l'exemple) pour détecter une évolution temporelle significative

Figure 5 : Concentration en manganèse dissous (Mn) dans la colonne d'eau - Echantillonnage en subsurface, à mi- profondeur et au fond, évolution temporelle sur la station St09 depuis les permiers suivis en saison chaude (mars)



Les prélèvements en saison chaude et les prélèvements en saison fraiche sont effectués en dehors de tout épisode climatique intense : fortes pluies ou tempête tropicale,

- pour une protection HS des travailleurs
- afin de d'uniformiser la méthodologie et de l'affranchir le plus possible des biais par différences météorologiques, cependant il est logistiquement impossible de toujours prélever les mêmes stations au même moment de la marée.

Les comparaisons temporelles des données de saison fraiche et les comparaisons temporelles des données de saisons chaudes ne sont pas confondues (Cf. exemples ici dessous), cependant, au port ou pour vérification ponctuelle, l'ensemble des données toutes saisons confondues peuvent être comparées afin de rechercher une tendance évolutive.

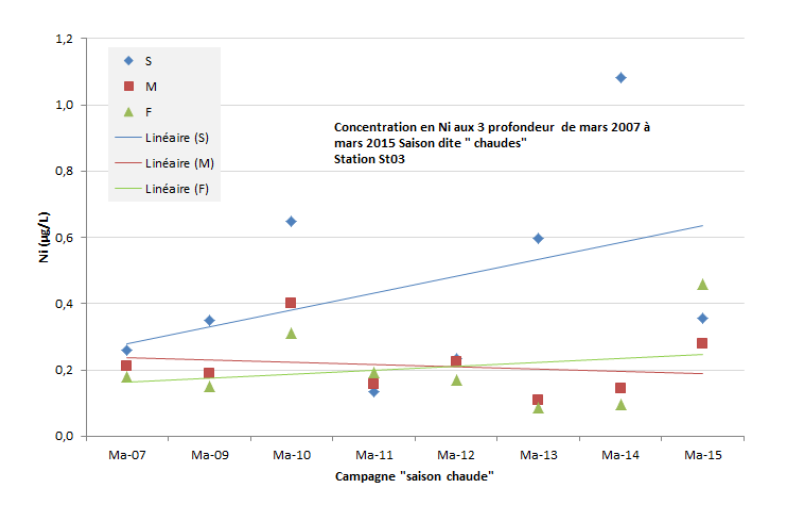
Ce choix de suivre les tendances évolutives en séparant les données selon les 2 saisons a été effectué après discussion des experts, afin de suivre des caractéristiques dans des conditions relativement comparables.

<u>En cas de conditions météorologiques exceptionnelles</u> les suivis réguliers ne sont pas effectués mais des missions d'évaluation ponctuelle dédiées à cet évènement sont enclenchées.

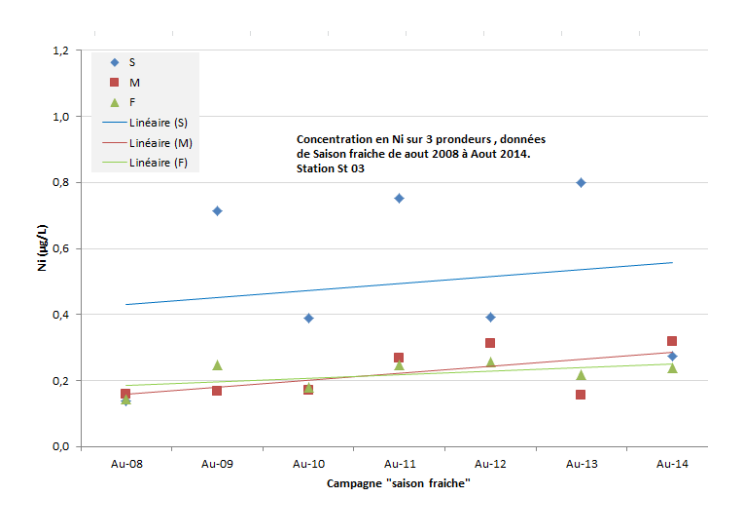
Figure 6 : Suivi de l'évolution temporelle de la concentration en Ni, sur la station st03, entre 2017 et 2015

Par saisons séparée pour garder une homogénéité des conditions météorologiques

A)- Saisons CHAUDES : Prélèvements en mars de 2007 à 2015. Sur St 03. (Baie dePort Boisé) Suivi des concentrations en nickel aux 3 profondeurs : S=surface, M=Mi profondeur, F= au fond.



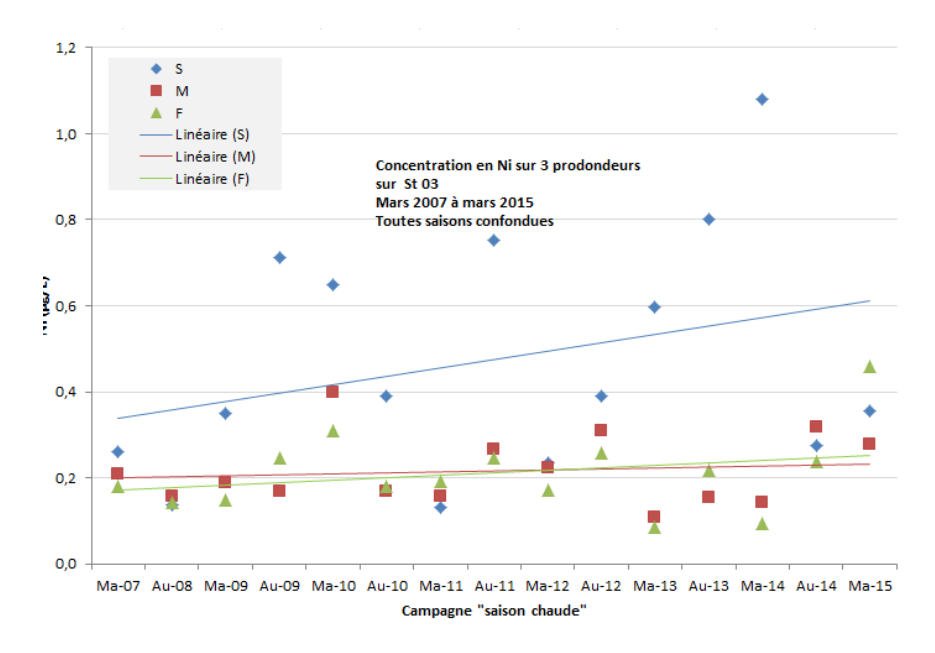
B)- Saisons FRAICHES en aout de 2008 à 2014. Sur St03. (Baie de Port Boisé) Suivi des concentrations en nickel.



Ou bien:

C)- Toutes les données confondues sur St03, (Baie de port Boisé), Concentrations en nickel entre 2007 et mars 2015.

Plus grande dispersion des données.



1.7. Relevés météorologiques associés

Les données météorologiques sont obtenues par la station météo du site Vale NC et/ou pas Météo France en complément. Elles accompagnent chaque mission d'échantillonnage.

Figure 7 : pluviométrie durant une mission d'échantillonnage et les cinq jours précédents afin de corréler les résultats de la qualité de l'eau de mer aux effets des ruissellements terrigènes

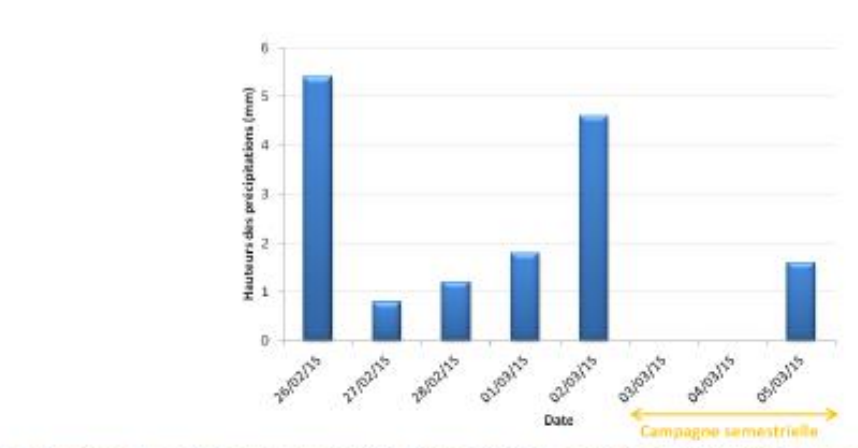


Figure 2: Hauteurs des précipitations enregistrées 5 jours précédant (26/03/15 au 02/03/15) la campagne et pendant la campagne semestrielle (03/03/15 au 05/03/15).

L'état de la marée doit être indiqué pour chaque station au moment de l'échantillonnage de celle-ci, la figure suivante montre que la plupart des stations lors de cette mission ont été échantillonnées à marée descendante et 4 stations à l'étale de marée haute.

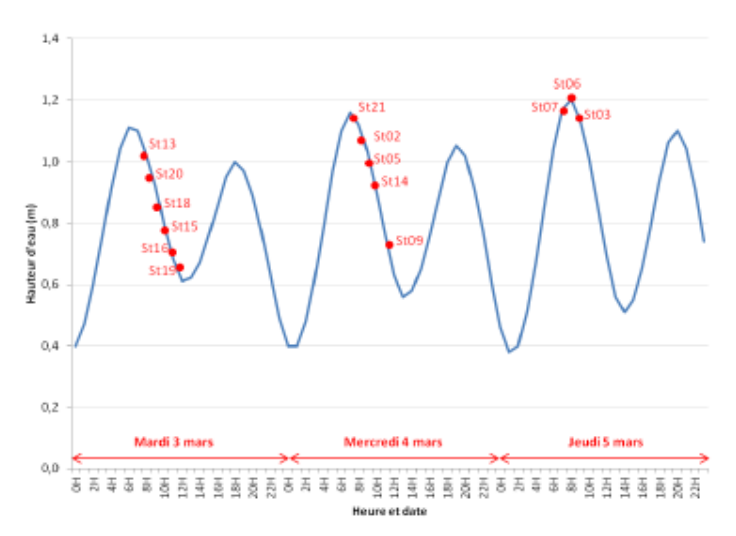


Figure 8 : Moment d'échantillonnage de chaque station en fonction de l'état de la marée

Figure 3 : Chronologie des évènements de la campagne semestrielle de mars 2015 reportée sur le marégramme du 03 au 05 mars 2015.

2. PARAMETRES BIOLOGIQUES INDICATEURS DE L'ETAT DES PEUPLEMENTS RECIFAUX ET DES POPULATIONS ASSOCIEES

Ils sont suivis selon les prescriptions établies par la DENV (Direction de l'Environnement) de la Province Sud, suite à l'atelier dédié aux suivis marins de mars 2006 (il réunissait les experts en la matière en Nouvelle-Calédonie) et validées dans la Convention pour la Conservation de la Biodiversité établie en 2008. (Cf. Tableaux suivants).

Ils font parties des suivis conventionnels mais on réglementaires.

Vale NC s'y conforme exactement depuis le début des suivis suite au démarrage des activités.

- Le substrat selon la méthode des *transects* fixes (3 *transects* de 20 m de longueur sur 3 profondeurs différentes par station). Méthode classique dite : « LIT ». La liste imposée des catégories de substrats donne 28 catégories distinctes. (Cependant parmi ces catégories certains sont de type Benthos)
- Le macro épi-benthos selon des couloirs de 5 m de large et 20 m de long qui suivent les transects, les taxons cibles sont listés. (Très sommairement dans le plan de suivi initial, chapitre étoffé au gré les experts qui veulent donner une avis sur l'état de santé global du récif)
- Les poissons selon la méthode des TLV (transect à largeur variable), les taxons cibles sont donnés par une liste restreinte imposé (fournie par la DENV en 2007) afin de calculer la densité et la biomasse. Le poids des individus est estimé d'après leur taille en utilisant des relations d'allométrie taille-poids W = aLb (Kulbicki et al. 1993). La liste restreinte indique une centaine de taxons identifiés au niveau du genre ou de l'espèce.

Tableau 6: Méthodologie pour le suivi des écosystèmes marins (Convention CCB 2008)

Paramètres et variables	Substrat (Habitats)	28 classes se substrat et benthos	
	Epi benthos : macro invertébrés		
	Poissons : Espèces cibles	Liste restreinte de poissons cibles imposée	
Prélèvements	Pas de prélèvement. Observations et photographies + vidéo associées		
Méthode	Définie lors de l'atelier du 03 mars 2006 DRN (devenue la DENV) Noumea	Transects ou couloirs d'observation sur 3 profondeurs et sans réplica à	
Normes et Publications	Line Intercept Transect LIT de English et Al (1994-1997) et transects à largeur variable (Kulbicki et Al 1994; 1995 et Kulbicki Sarramégna 1999)	une même profondeur	
Analyses	Aucune N/A		
Paramètre	Méthode	Limites de détection	
Substrat	LIT fixe sous un ruban de 20 m de long et 28 classes identifiées	10cm	
Benthos	LIT fixe sur couloir 100m2	100m ²	
Poissons	Comptage sur transect à largeur variable	Vision du plongeur et visibilité de l'eau	

2.1. Compositions codifiées des taxons suivis et méthode de suivi par transects

Le substrat

Tableau 7 : Composition du substrat. Les 28 Catégories imposées par le plan de suivi CCB 2008

СОМ	POSANTES : 12 cat	égories et 28 cod	les de description	
Coraux (corail dur, 11 items codifiés)	Autres coraux(2)	Autres org. Vivants (3)	Algues (6)	Substrat Abiotique (6)
Scléractiniaires Acropora Branchu ACB Au moins 2 niveaux de branches Acropora Encroûtant ACE Acropora Submassif ACS Acropora Digité ACD Branches en forme de doigts Acropora Tabulaire ACT Branches aplaties horizontalement Non-Acropora Branchu CB Au moins 2 niveaux de branches NB: les non acropora digité ont été placés ici Non-Acropora Encroûtant CE Non-Acropora Foliaire CF Corail en forme de feuille Non-Acropora Massif CM Non-Acropora Submassif CS Fungia CMR Corail solitaire	Millepora CME ou Corail de feu Corail mou SC	Éponges SP Zoanthaires ZO Autres OT dont Ascidies, Anémones, Gorgones, Bénitiers	Assemblages AA Calcaire CA Halimeda HA Macroalgue MA Filamenteuse F NB: les cyanobactéries ont été placées ici en F Corail mort avec algues DCA (Corail mort recouvert d'algues)	Corail mort DC de Couleur blanche Sable S avec Particules < 2 cm Débris R avec Particules > 2 cm Vase SI Eau W si Crevasse de plus de 50 cm Roche Dalle - Roche RC

Remarque: Selon cette méthodologie les 3 transects du LIT sont situés à 3 profondeurs différentes, ils présentent des faciès différents et ne peuvent pas être statistiquement des réplicas l'un de l'autre. Il ne peut pas être effectué de moyenne des résultats des LIT (substrat) des 3 transects d'une station. Il n'y a aucune variable aléatoire par station, le suivi temporel effectué par comparaison d'une station à chaque suivi, transect par transect, est la variable aléatoire. Vale NC a évoqué ce sujet depuis 2007. La différence annuelle est la variable aléatoire.

ANNEXE 1. Méthodologies

Elle est suivie avec attention depuis 2007 avec la même méthodologie et sur les mêmes stations et les mêmes transects exactement.

Il est recommandé de positionner les transects sur des zones qui présentent entre 30 et 60% de recouvrement corallien. Un transect profond sur une zone quasi abiotique ne donne pas d'indications significative et ne pourra détecter qu'une hausse de la biodiversité, pour cette raison certaines stations ne présentent que 2 transects. Ils sont le plus souvent parallèles à la cote sur une ligne isobathymétrique. (Mais pas toujours en cas de topologie des fonds en éperons transversaux à la cote, par exemple).

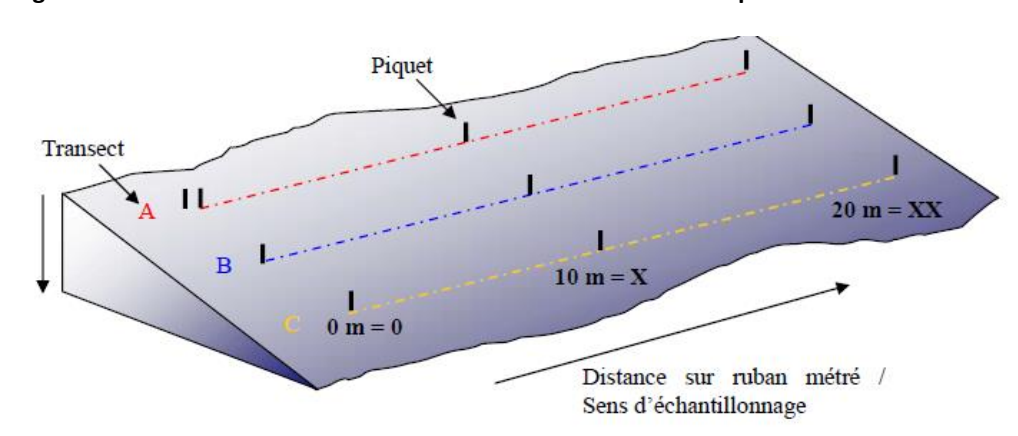


Figure 9: Schéma d'une station sous-marine avec 3 transects à 3 profondeurs différentes

L'épi-macro benthos

Evaluation sur un couloir de 2,5 m de chaque côté du transect (i.e. 100 m2) :

Présence / Absence d'algues et phanérogames à l'échelle du genre.

Densité en bénitiers, Troquas, et certains échinodermes (au niveau de l'espèce pour les étoiles de mer, les oursins et les holothuries, et en présence/absence pour les crinoïdes) et en cliones.

Le plan de suivi imposé pat la Convention CCB 2008 ne va pas au-delà de ces indications. Le chapitre suivant (chapitre 2.2 et notamment 2.2.3) indique les recommandations Vale NC et des experts afin de cadrer cette surveillance du benthos qui doit cibler les taxons sessiles sensibles et indicateurs.

Il est aussi remarqué que les classes du LIT sont nombreuses et font interférence avec le suivi du benthos, cela tient à l'historique du LIT qui n' était pas dédié au substrat seul mais à des observateurs débutants qui devaient caractériser un récif par les seuls LIT, sans un étude du benthos derrière.

L'ichtyo faune

Le plan de suivi (CCB- 2008) imposé par les autorités compétentes, impose une liste restreinte de poissons cibles: celle-ci est présentée ci-dessous ainsi que dans chaque rapport de suivi.

Cependant, afin d'alimenter une base de donnée exhaustive représentant la biodiversité réelle de la station, Vale Nouvelle-Calédonie demande la liste exhaustive des poissons observés, elle est fournie en annexe de chaque rapport semestriel. Les recherches supplémentaires effectuées par l'ichtyologue qui effectue les suivis, (ex : structure des populations, biodiversités α , β , γ , indices « poissons »...) sur liste exhaustive des poissons observés, sont de son fait, elles s'ajoutent aux exigences du plan de suivi et Vale NC ne se permet pas de censurer les ajouts et commentaires des experts

2.2. Liste des poissons comptabilisés selon le plan de suivi CCB-

Tableau 8 : Liste des poissons comptabilisés selon le plan de suivi CCB-

Liste de poissons retenus pour l'évaluation de la faune ichtyologique

Famille	Genre	espèce
Requins		spp
Raies		spp
Scorpaenidae	Rascasses "poules"	spp
	Anthias et	
Serranidae	Pseudanthias	spp
	Cromileptes	altivelis
	Epinephelus	cyanopodus
	Autres loches	spp
	Plectropomus	spp
Pseudchromidae	Pictichromis	coralensis
Carangidae		spp
Lutjanidae	Aphareus	furca
	Aprion	virescens
	Lutjanus	adetii
	Lutjanus	sebae
	Lutjanus	spp
	Symphorus	nematophorus
Caesionidae		spp
Haemulidae	Diagramma	pictum
	Plectorhinchus	spp
Lethrinidae	Lethrinus	nebulosus
	Autres bossus et bec	spp
Nemipteridae	Scolopsis	bilineatus
Mullidae		spp
Kyphosidae		spp
Ephippidae	Platax	spp

Chaetodontidae	Chaetodon	auriga
	Chaetodon	baronessa
	Chaetodon	bennetti
	Chaetodon	citrinellus
	Chaetodon	ephippium
	Chaetodon	flavirostris
	Chaetodon	kleinii
	Chaetodon	lineolatus
	Chaetodon	lunula
	Chaetodon	melannotus
	Chaetodon	mertensii
	Chaetodon	ornatissimus
	Chaetodon	pelewensis
	Chaetodon	plebeius
	Chaetodon	rafflesi
	Chaetodon	reticulatus
	Chaetodon	speculum
	Chaetodon	semeion

ANNEXE 1. Méthodologies

	Chaetodon	trifascialis	
	Chaetodon	lunulatus	
	Chaetodon	ulietensis	
	Chaetodon	unimaculatus	
	Chaetodon	vagabundus	
	Coradion	altivelis	
	Forcipiger	flavissumus	
	Forcipiger	longirostris	
	Hemitaurichthys	polylepis	
	Heniochus	acuminatus	
	Heniochus	chrysostomus	
	Heniochus	monoceros	
	Heniochus	singularis	
	Heniochus	varius	
Pomacanthidae	Centropyge	bicolor	
1 omacantinuae	Centropyge	bispinosus	
		flavissima	
	Centropyge	heraldi	
	Centropyge	tibicen	
	Centropyge	vroliki	
	Centropyge		
	Chaetodontoplus	conspicillatus	
	Pomacanthus Pomacanthus	imperator	
		semicirculatus	
	Pomacanthus	sextriatus	
	Pygoplites	diacanthus	
Pomacentridae	Abudefduf	spp	
	Amphiprion	perideraion	
	Amphiprion	spp	
	Chromis	viridis	
	Chromis	fumea	
	Chrysiptera	taupou	
	Chrysiptera	rollandi	
	Dascyllus	aruanus	
	Dascyllus	reticulatus	
	Dascyllus	trimaculatus	
	Neopomacentrus	azysron	
	Neopomacentrus	violascens	
	Pomacentrus	coelestis	
	Pomacentrus	moluccensis	
	Pomacentrus	aurifrons	
	Stegastes	spp	
Labridae	Bodianus	loxozonus	
	Bodianus	perditio	
	Cheilinus	chlorourous	
	Cheilinus	trilobatus	
	Cheilinus	undulatus	
	Choerodon	graphicus	
	Coris	aygula	
	Coris	gaimard	
	Gomphosus	varius	
	Halichoeres	hortulanus	
	Halichoeres	margaritaceus	
	Halichoeres	trimaculatus	

	W	
	Hemigymnus Labroides	melapterus dimidiatus
	Novaculichthys	taeniourus
		bandanensis
	Stethojulis	
	Stethojulis Thalassoma	strigiventer
		amblycephalum
	Thalassoma	hardwicke
	Thalassoma	lunare
Scaridae	Thalassoma	lutescens
Scaridae	Bolbometopon	muricatum
	Scarus	ghobban
	Chlorurus	microrhinos
D1 11	Scaridae	spp
Blennidae	Ecsenius	bicolor
6.1111	Meicanthus	atrodorsalis
Gobbidae	Amblygobius	phalaena
D. 1	B. 1	
Ptereleotridae	Ptereleotris	evides
	Ptereleotris	microlepis
Acanthuridae	Acanthurus	dussumieri
Acanthuridae	Acanthurus Acanthurus	dussumieri blochii
Acanthuridae		
Acanthuridae	Acanthurus	blochii triostegus
Acanthuridae	Acanthurus Acanthurus	blochii
Acanthuridae	Acanthurus Acanthurus Acanthurus	blochii triostegus spp
Acanthuridae	Acanthurus Acanthurus Acanthurus Ctenochaetus	blochii triostegus spp spp
Acanthuridae	Acanthurus Acanthurus Acanthurus Ctenochaetus Naso	blochii triostegus spp spp unicornis
Acanthuridae	Acanthurus Acanthurus Acanthurus Ctenochaetus Naso Naso	blochii triostegus spp spp unicornis spp
Acanthuridae	Acanthurus Acanthurus Acanthurus Ctenochaetus Naso Naso	blochii triostegus spp spp unicornis spp
	Acanthurus Acanthurus Acanthurus Ctenochaetus Naso Naso Zebrasoma	blochii triostegus spp spp unicornis spp spp
	Acanthurus Acanthurus Acanthurus Ctenochaetus Naso Naso Zebrasoma	blochii triostegus spp spp unicornis spp spp argenteus
Siganidae	Acanthurus Acanthurus Acanthurus Ctenochaetus Naso Naso Zebrasoma Siganus Siganus	blochii triostegus spp spp unicornis spp spp spp spp spp
Siganidae Zanclidae	Acanthurus Acanthurus Acanthurus Ctenochaetus Naso Naso Zebrasoma Siganus Siganus Zanclus	blochii triostegus spp spp unicornis spp spp argenteus spp cornutus
Siganidae Zanclidae Scombridae	Acanthurus Acanthurus Acanthurus Ctenochaetus Naso Naso Zebrasoma Siganus Siganus Zanclus Scomberomorus	blochii triostegus spp spp unicornis spp spp spp argenteus spp cornutus commerson
Siganidae Zanclidae Scombridae	Acanthurus Acanthurus Acanthurus Ctenochaetus Naso Naso Zebrasoma Siganus Siganus Zanclus Scomberomorus Balistoides	blochii triostegus spp spp unicornis spp spp spp argenteus spp cornutus commerson conspicillum
Siganidae Zanclidae Scombridae	Acanthurus Acanthurus Acanthurus Ctenochaetus Naso Naso Zebrasoma Siganus Siganus Zanclus Scomberomorus Balistoides Oxymonacanthus	blochii triostegus spp spp unicornis spp spp argenteus spp cornutus commerson conspicillum longirostris
Siganidae Zanclidae Scombridae	Acanthurus Acanthurus Acanthurus Ctenochaetus Naso Naso Zebrasoma Siganus Siganus Zanclus Scomberomorus Balistoides Oxymonacanthus Rhinecanthus	blochii triostegus spp spp unicornis spp spp argenteus spp cornutus commerson conspicillum longirostris aculeatus

2.3. Recommandations de base

Les suivis éco-systémiques sont extériorisés auprès d'un ou plusieurs bureaux d'études ou instituts.

Vale Nouvelle-Calédonie demande (via son cahier des charges) que l'entretien des stations n'interfère pas avec les observations des espèces mobiles (poissons) et qu'il ne soit pas effectué plus de deux stations complètes par journée d'évaluation, l'expérience montrant qu'une plus grande rapidité d'expertise nuit à la qualité des évaluations (1)*.

Le journal de plongée et les briefings journaliers avec les biologistes -plongeurs permettent de valider cette exigence de rigueur méthodologique. Ces deux faits relationnels entre le bureau d'étude en charge de la mission et Vale NC sont obligatoires

La forte courantologie de la zone du canal interfère avec les évaluations et il est demandé de « viser » le moment de l'étal de marée en période de mortes eaux. La courte période de l'étal ne permet pas d'effectuer convenablement plus de deux missions par jour dans le canal de la Havannah ni de travailler en périodes de vives eaux et hors étal. Trop de stations inventoriées en trop peu de jours ne sont pas acceptées par les contrôles Qualité effectués par Vale NC.

(1) *L'expérience montre que l'effort d'évaluation pour une station de suivi éco systémique telle que définie dans le plan de suivi est le suivant :

Pour une station bien connue (non pas en évaluation de l'état des lieux mais en suivi régulier)

- En zone abritée : 3 plongeurs ayant chacun sa spécialité : 1 heure à minima en plongée
- En zone de courantologie forte (canal de la Havannah et canal Woodin) : 3 plongeurs ayant chacun sa spécialité : 1 heure à minima en plongée au moment de l'étale et marées de mortes eaux.
- Pour une station remise en état ou nouvellement explorée : 2 heures (2 bouteilles par plongeur)

Le trajet entre les stations et la nécessité de viser les moments d'étale de marée implique : 1 seule station par jour en zone de fort courant + 1 station en zone abritée.

2.4. Journal de plongée

Le journal de plongée doit contenir :

- le numéro de la station,
- le nom du site,
- les coordonnées de la station en degrés, minutes et dixièmes de minute pour la longitude et pour la latitude,
- la date de la plongée,
- l'heure du début de la plongée sur la station,
- les conditions météorologiques lors de cette mission (vent, force et direction, pluie ou ensoleillement),
- la profondeur maximale et le temps de plongée,
- l'horaire des marées et les coefficients,
- le courant, la force approximative et la direction,
- la houle ou les vagues et le ressac qui peuvent gêner la mission,
- la visibilité,
- l'état de la station, la maintenance effectuée et les difficultés ou remarques éventuelles,
- la tâche effectuée par l'équipe et par chaque personne.

2.5. Minimisation des biais

Afin de minimiser les biais Vale NC demande que:

✓ Le plongeur évaluateur soit la même personne qui, par la suite, rédige le rapport et qu'il ait la compétence requise pour effectuer les analyses d'évolutions spatiales et temporelles en fonction de l'indicateur qu'il suit (substrat, benthos, corail ou poissons):

✓ Les plongeurs-évaluateurs varient le moins possible d'une mission à l'autre, leur nom et leur qualification (degré d'expertise) doit figurer dans le rapport.

ANNEXE 1. Méthodologies

- ✓ Le délai entre la mission de plongée et la remise du rapport d'analyse des données soit le plus bref possible (< 3 mois) ;
- ✓ Chaque rapport présente une synthèse et une analyse de l'évolution spatiale et temporelle des indicateurs suivis, synthèse effectuée par les experts qui ont participés aux plongées évaluatrices (eux même). Plongeurs et analystes ne peuvent pas être des personnes différentes ni des cocontractants ou patentés (en cascade de sous- traitants).
- ✓ Les missions soient effectuées dans des conditions météorologiques comparables qui excluent les évènements extrêmes, pas de plongée par plus de 20 nœuds de vent dans le canal, si fortes pluies, et lors des marées de vives eaux. C'est une obligation HS et de qualité.
- ✓ Le ruban de 20 mètres soit bien tendu, ce qui est possible sur 20 m (mais pas toujours sur 50 m et qu'il ne soit pas constitué par une matière trop lourde (acier par exemple) qui pourrait affecter les coraux fragiles.
- ✓ Des photographies des colonies géo référencées caractéristiques soient effectuées et archivées.
- ✓ Qu'il n'y ait aucun prélèvement effectué.
- ✓ Que l'évaluation de la station en réserve Merlet ne soit pas effectuée sans autorisation de la DENV/PS préalable, la demande est à la charge des biologistes.

Ces recommandations vont dans le sens d'une meilleure puissance statistique afin d'augmenter la probabilité de détecter une variation (tendance évolutive du milieu). A cette fin la variabilité des évaluations et du *reporting* de ces évaluations doivent être minimisés.

- Optimiser la puissance statistique pour éviter :

 le risque ß de ne pas déceler un impact de faible ampleur,
 - et le risque α de conclure à tort trop hâtivement à un impact.

2.6. Entretien de la station éco-systémique sous-marine et considérations méthodologiques :

Les missions d'évaluation sur site sont séparées en deux grandes phases :

a)- La localisation des stations sur le terrain (coordonnées GPS) et leur vérification/entretien sous l'eau, avec au final la mise en place du ruban qui matérialise le transect.

b)- L'évaluation Substrat, Benthos, Poissons (sans prélèvement).

Phase a)-

Le bateau est mouillé sur fond non corallien à une vingtaine minimum de mètre de la station. Une reconnaissance en PMT (palmes / masque / tuba, de la surface) est effectuée afin de repérer les piquets marquants les transects de la station qui a déjà été située par GPS. Aucune bouée de repérage de surface ne peut rester à poste entre deux missions car elle serait perdue ou attirerait des curieux qui altèreraient la station, avec de fortes probabilités.

Les plongeurs emmènent à l'occasion de leur mission une bouée qu'ils attachent au 1er piquet (0 m) du 1er transect haut (le transect A), afin de permettre la prise (et la vérification par la suite) des coordonnées exactes par GPS. Lorsque les transects sont éloignés les uns des autres, cette manœuvre est répétée pour chacun d'entre eux. Cette bouée est retirée en fin de mission.

La suite de la mission doit être conduite en scaphandrier autonome.

Le parfait état du marquage des stations est primordial pour un suivi temporel. Les piquets absents, tombés, branlants, etc. sont systématiquement remplacés, pour cela des piquets doivent être préalablement affinés sur une de leur pointe avant la mission et donc prêts à l'emploi, ils sont stockés sur le bateau. Pour « planter » un piquet, les consignes importantes à respecter sont :

- de choisir obligatoirement un substrat abiotique,
- d'enfoncer suffisamment le piquet pour que celui-ci ne puisse plus bouger. Il n'est pas nécessaire de le cimenter à sa base.

Pour la résistance à l'oxydation et faciliter leur perception visuelle sous l'eau, les piquets employés sont en acier galvanisé avec :

- une pointe effilée.
- une longueur : 2 mètres,

- un diamètre : 12 mm.
- une peinture de protection grise et une bande de marquage visuel (20 cm) en haut orange fluo.

Pour placer à bonne distance les piquets, un ruban métré est déroulé.

Le ruban qui matérialise le transect est tendu de façon forte entre les piquets, il ne doit pas dévier dans le courant, il sera retiré en fin de mission sur cette station. Les photographies suivantes montrent que cela est tout à fait possible.

Les mouvements des plongeurs et le bruit occasionné par les coups sur les piquets perturbent la faune pélagique (attraction ou au contraire fuite). Par ailleurs, selon le substrat, cet effort peut rendre la visibilité très mauvaise du fait de la mise en suspension des sédiments fins du fond.

Pour éviter de fausser les données d'échantillonnage les opérations de maintenance nécessaires doivent être réalisées au moins une heure avant la phase d'évaluation. Le plus souvent, une fois une station « A » remis en état, elle est laissée « au repos » ; la station « B »voisine est évaluée et par la suite le retour sur la première station « A » conduit à son évaluation.

Figure 10 : Phase a) du suivi des écosystèmes coralliens et populations associées

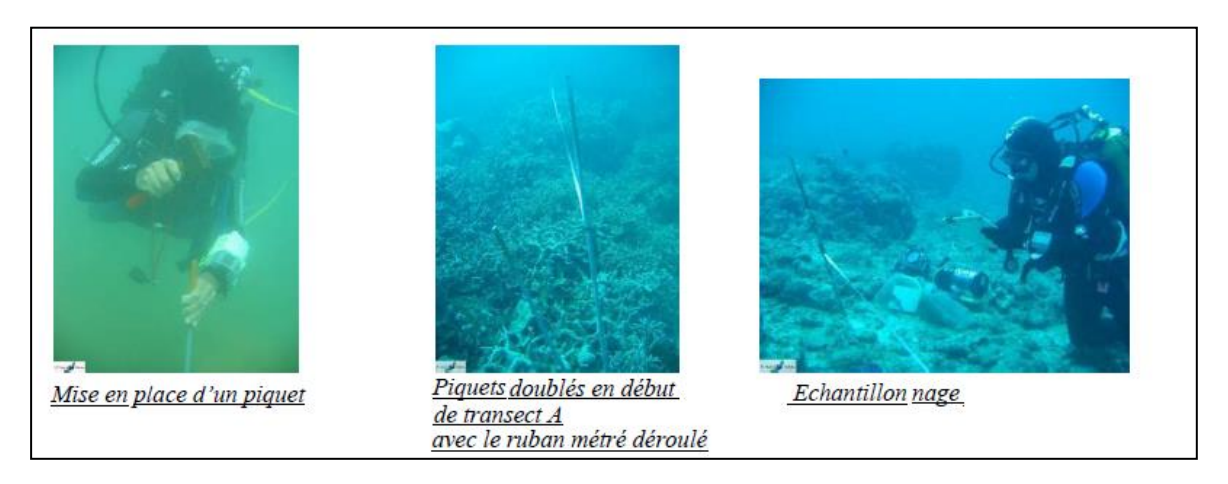
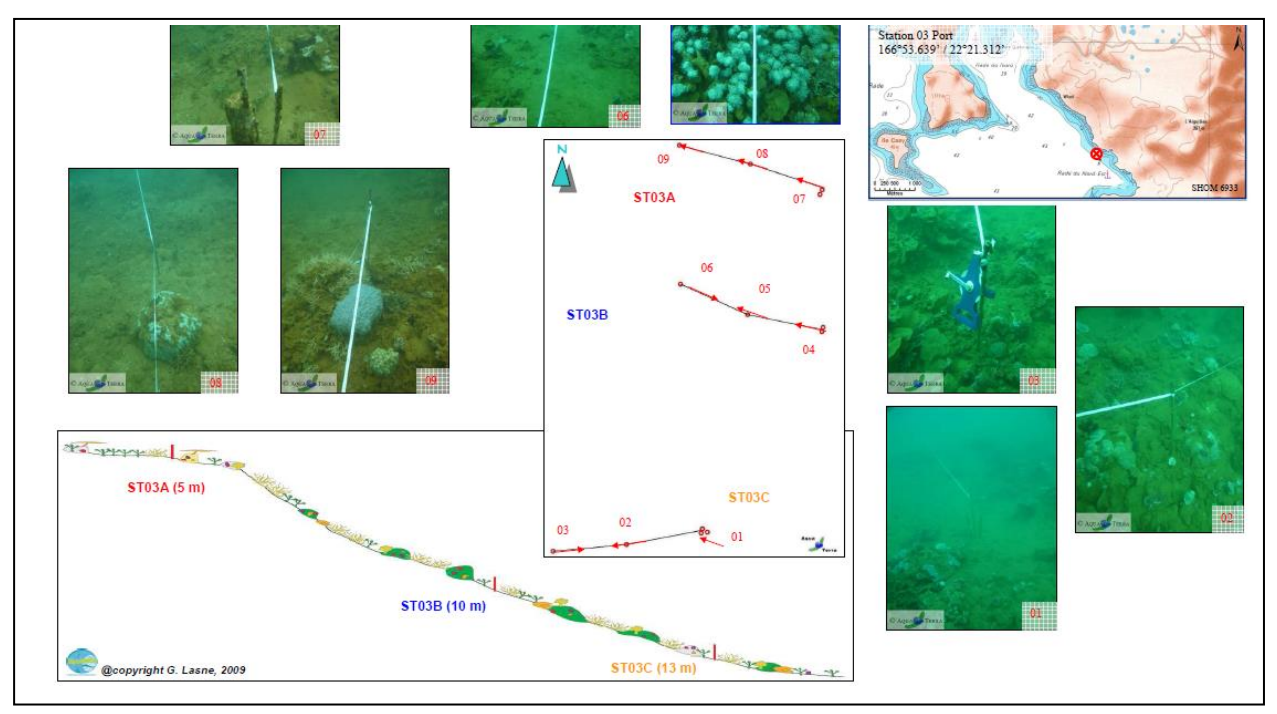


Figure 11 : Schéma d'une station sous-marine de surveillance des massifs coralliens et des populations associées (Ici ST03 Port de Prony) et des 3 transects



Phase b)-

▲ LIT

Seul le substrat situé sous le transect (matérialisé par un ruban de 20 m de long parfaitement tendu entre les piquets fixes) est noté. Cette méthode permet d'évaluer la variabilité du substrat, cependant le LIT n'est pas représentatif de la biodiversité de la zone. (Il n'y aucun réplica selon la méthode imposée. Des éléments du benthos sont mélangés à des éléments du substrat. Une révision et un affinement des 28 classes qui constitue le suivi par LIT serait un plus.)

L'évaluation du substrat sous le ruban est effectuée selon le principe des classes continues, avec une résolution de 10 cm. Le principe est de noter à chaque changement de catégorie de substrat (= classe) la distance donné par le ruban, comme schématisé dans la figure suivante : le diagramme montre les points de transition (D) de chaque catégorie de substrat rencontré sous le transect (le ruban). La différence entre deux points de transition est la "longueur" correspondante à cette catégorie. Les classes retenues sont au nombre de 28 (Cf. tableau 7). Le traitement des données brutes consiste à faire le calcul du pourcentage de recouvrement de chaque classe, qui est obtenu par la somme de "ses longueurs" divisée par la longueur du substrat multipliée par 100, comme montré dans l'exemple ici dessous.

Figure 12 : Schéma d'un transect pour relever le substrat par LIT

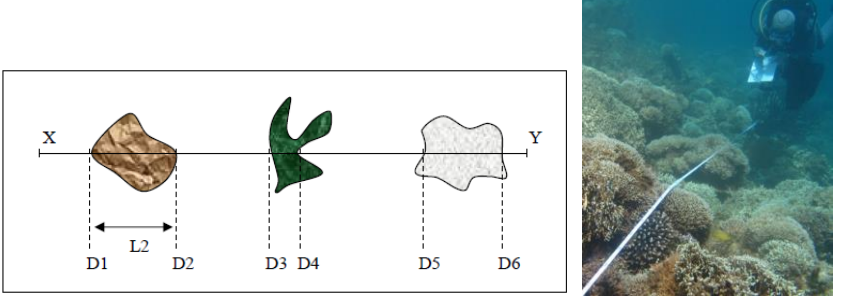


Tableau 9 : Exemple de calcul pour le recouvrement du substrat

DISTANCE	Longueur	CLASSE
X - D1	L1 = D1-0	S
D1 - D2	L2 = D2-D1	RC
D2 - D3	L3 = D3-D2	S
D3 - D4	L4 = D4-D3	MA
D4 - D5	L5 = D5-D4	S
D5 - D6	L6 = D6-D5	DC
D6 - Y	L7 = Y-D6	S

Le pourcentage % de couverture en sable (S) = $(L1+L3+L5+L7) / XY \times 100$

Figure 13: Illustration photographique d'un suivi évaluatif du Substrat méthode LIT



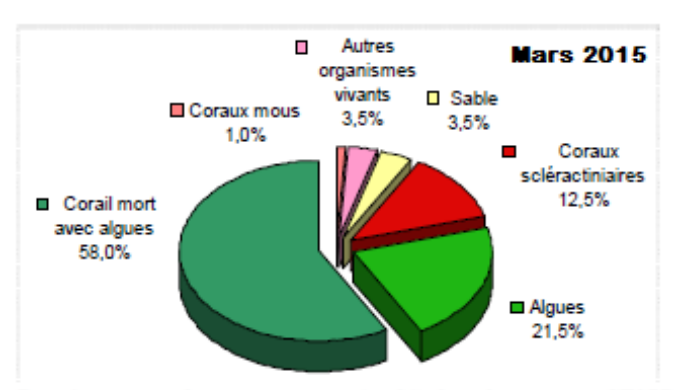


Remarquer que le ruban est bien tendu et peu flexible Les 28 classes imposées (tableau 4 du chapitre 2.1) ont été regroupées afin de pouvoir simplifier les interprétations.

Ces composantes reprennent les groupes faunistiques (coraux Scléractiniaires, autres coraux, alcyonaires, autres organismes, algues, algues sur corail mort) ainsi que le matériel composant le substrat (corail mort, débris, sable, dalle, vase, eau). Elles sont alors exprimées en pourcentages pour chaque transect et présentées sous forme de graphiques pour permettre une comparaison visuelle rapide, comme le présentent les figures suivantes. La couleur des classes ne doit pas varier au fil des chapitres et des rapports pour plus de facilité de lecture (Algues en vert, corail dur en rouge, vase en marron et sable en jaune...)

Figure 14 : Evaluation du substrat sur le transect de mi-profondeur (B) de la station ST07 (Basse Chambeyron)

Mission de mars 2015



Représentation du recouvrement (en %) du substrat pour ST07B

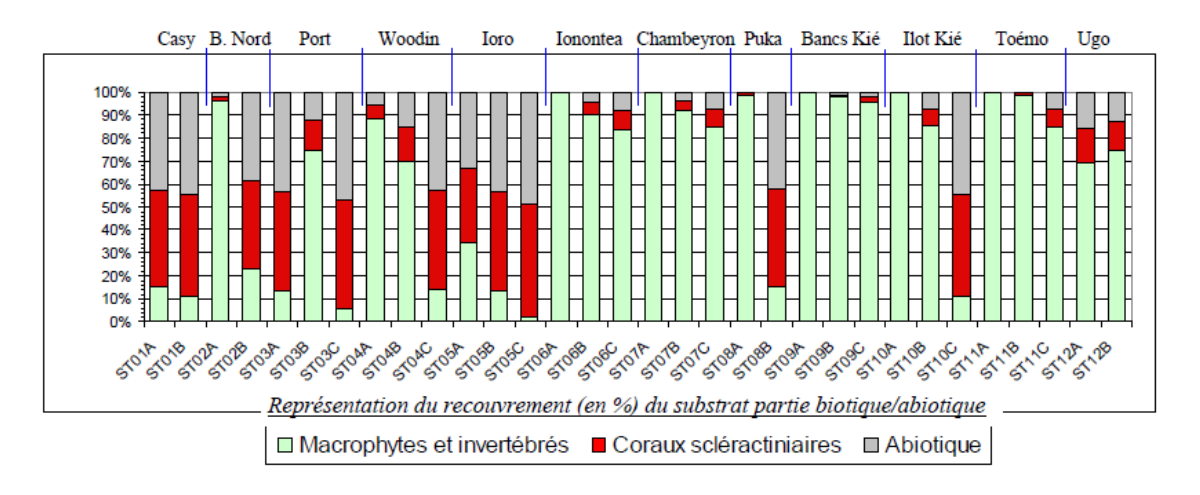
Les comparaisons spatiales et temporaires insistent sur les rapports :

- Corail vivant /Corail mort
- Corail vivant/ Algues et autres Invertébrés
- ➤ Abiotique total/ Biotique total
- Abiotique total/ Biotique hors coraux durs/ coraux durs (cf. figure suivante)

La figure ci-dessous, récapitule les pourcentages de couverture du substrat aux différents transects de chaque station pour une comparaison spatiale, mission de mars 2015.

- La partie biotique, qui est divisée en deux groupes : les coraux Scléractiniaires et le reste (C'est-à-dire, les Macrophytes, invertébrés, autres coraux, etc. regroupés sous « macrophytes & invertébrés »),
 - La partie abiotique.

Figure 15 : représentation du substrat sur l'ensemble des transects lors de la mission- exemple de mars 2015



▲ BENTHOS

La méthode d'observation sur couloirs est appliquée. Le couloir fait une largeur de 5 mètres (2.5 mètres de part et d'autre de chaque transect de 20 mètres de longueur).

Cette méthode donne une bonne représentation des communautés benthiques (inventaires faunes et flores) car une zone importante est prospectée et étudiée (100 m² pour chaque transect soit 300 m² par station). De plus 3 étages du récifs sont évalués.

L'échantillonnage des stations comprend les communautés biotiques (les coraux scléractiniaires, les macrophytes et les invertébrés) et une description géomorphologique. Les taxons cibles retenus par la CCB 2008 sont :

- les algues et phanérogames (présence / absence), à déterminer au niveau du genre,
- les étoiles de mer, les oursins et les holothuries (abondance), à déterminer au niveau de l'espèce,
- les crinoïdes (présence / absence),
- les cliones (abondance),
- les bénitiers et les trocas (abondance).

Une échelle d'abondance a dû être mise en place, (Gregory Lasne BIOCENOSE) car le plan de suivi ne proposait aucune méthodologie de comptabilisation hormis « absence /présence » et pas de méthode d'évaluation de l'abondance, cette échelle d'évaluation de l'abondance est une adaptation de l'échelle de English & Al 1997; ainsi le taux de recouvrement dans le couloir de 100m² est explicité par des indices d'abondance (numérotée de 1 à 5) pour les coraux durs (Scléractinaires, les Macrophytes et les autres Invertébrés).

Tableau 10 : Echelle d'abondance au niveau de taxons cibles du Benthos

ECHELLE	RECOUVREMENT	ABONDANCE (nb individus ou colonies / 100 m²)
1	Rare	1
2	Faible	2 à 10
3	Moyen	11 à 20
4	Fort	21 à 41
5	Important	plus de 41

Cependant, certains coraux durs édifient de très grandes colonies de plusieurs mètres carrées, parfois de plus de 10 mètres de diamètre, dans ce cas précis, indiquer le nombre de colonies de cette espèce n'a pas de sens car une seule colonie peut recouvrir plus de 70% du couloir, une autre échelle paramétrée de 1 à 5 est alors utilisée par l'expert en coraux.

Tableau 11: Echelle d'abondance au niveau de grandes colonies coralliennes du Benthos

ECHELLE	RECOUVREMENT	ABONDANCE (surface / 100 m²)
1	Rare	< 0.5% (soit < 0.5 m ² / 100 m ²)
2	Faible	> 0.5% (soit > 0.5 m ² / 100 m ²)
3	Moyen	> 5% (soit > 5 m² / 100 m²)
4	Fort	> 10% (soit > 10 m² / 100 m²)
5	Important	> 15% (soit > 15 m ² / 100 m ²)

La pérennisation de la méthode et la fidélisation du plongeur- évaluateur permettent de réduire les biais et les incertitudes lors des comparaisons pour évaluer l'évolution temporelle du couloir inventorié.

Vale Nouvelle-Calédonie complète ce suivi réglementaire (à son initiative) par :

 La surveillance d'éventuelles espèces exogènes (les EEE) : un plan de veille à l'égard des Espèces Exotiques Envahissantes est établi sur le site Vale Nouvelle-Calédonie, cette veille concerne aussi le milieu marin. Cependant, pour le milieu marin, les autorités compétentes en la matière en Nouvelle-Calédonie n'ont pas établi de méthodologie ni d'état des lieux. Vale NC fait confiance dans les connaissances des experts pour signaler toute découverte qui engendrerait un doute. Une liste de taxons potentiellement à craindre a été établie sur la demande de Vale NC et ceux-ci sont pris en compte lors des missions de suivis (notamment au niveau des algues).

- Le suivi des Cyanobactéries et de l'évolution saisonnière et pluriannuelle de leur couverture.
- Le suivi des algues macroscopiques et de leur évolution saisonnière: leur couverture est quantifiée (chapitre benthos). Algues et cyanobactéries peuvent être des indicateurs d'eutrophisation, ce risque n' est pas relié aux effets éventuels du projet Vale NC dont les eaux des stations d'épuration (base vie) sont traitées deux fois (STEP + Station de traitement des effluents marins) puis rejetés via l'effluent marin, mais les fortes variations saisonnières naturelles des couvertures algales méritent attention. En 2014 ce risque a été identifié en baie de port Boisé sous l'influence de rejets qui ne sont en pas imputable à VNC. Attention: La variabilité naturelle saisonnière de la couverture algale est forte et interfère.
- Le suivi du corail et de son blanchissement : Le corail est considéré comme un taxon sentinelle et un « proxy ». Son suivi est renforcé par rapport au plan de suivi CCB, notamment après les fortes dépressions tropicales et à l'embouchure du creek de la Baie Nord, en baie Kué et sur des stations « témoins ».
- Le suivi des étoiles de mer ravageuses du corail qui sont comptées une à une (et signalée, notamment des Acanthaster).
- Le suivi avec iconographie associée de certaines colonies coralliennes remarquables et géoréférencées et l'évaluation de leur croissance, mission après mission;
- Les maladies coralliennes.
- Le blanchiment corallien. Lui aussi doit être évalué selon une échelle d'abondance.

ECHELLE DEGRE DE BLANCHISSEMENT | ABONDANCE (nb individus ou colonies / 100 m²) B₁ Présence de blanchissement 1 2 à 10 **B**2 Blanchissement faible B3 Blanchissement moyen 11 à 20 21 à 40 B4 Blanchissement fort **B**5 Blanchissement important 41 et plus

Tableau 12 : degré de blanchiment corallien sur une échelle de 1 à 5

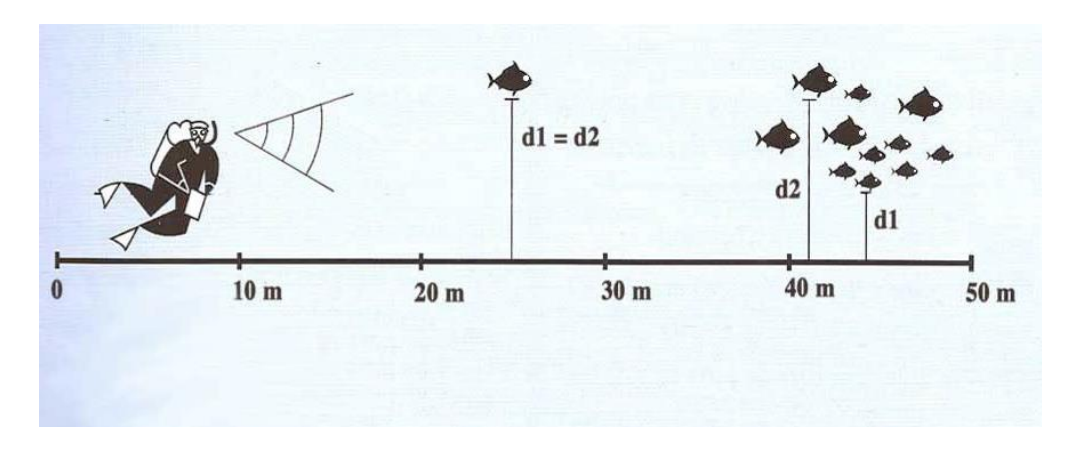
▲ POISSONS

Le biologiste responsable de l'échantillonnage des poissons doit avoir une compétence reconnue en matière d'ichtyologie en lagons tropicaux. La nomenclature et l'orthographe des espèces, des genres et des familles sont celles de Randall J.E.2005.

Les poissons sont échantillonnés par comptage visuel avec un plongeur qui progresse le long du ruban et compte de part et d'autre de celui-ci. (Cf. Le schéma ci-dessous). Sont notés pour chaque espèce le nombre d'individus et une estimation de la taille est effectuée ainsi que leur distance perpendiculaire au transect. Lorsque des individus sont en banc, le biologiste marin note la distance au poisson le plus proche et celle au plus éloigné.

La turbidité de l'eau est un facteur de biais, elle est notée dans le journal de plongée et en cas de trop faible visibilité la mission est annulée et/ou reportée sur une autre station. La rencontre d'un individu exceptionnel (un requin blanc ou une raie de très grande taille) est rare mais aussi notée car elle modifie la biomasse de façon très forte. De plus les périodes de frais ou le passage d'un banc provoquent des variations fortes de densité et les explications de l'expert sont necessaires, il indique ces faits et ses conclusions en tiennent compte.

Figure 16: Comptage des poissons. Méthode TLV (Selon le plan de suivi CCB 2008 le transect fait 20m)



Le poids des individus est estimé d'après leur taille en utilisant des relations d'allométrie taille-poids – W = aLb – (Kulbicki et al.). La liste restreinte imposée (tableau 8) indique une centaine de taxons identifiés au niveau du genre ou de l'espèce.

La biodiversité réelle ne peut pas être connue par ce travail sur liste restreinte (bien qu'indiquée par VNC sur liste complète), les indicateurs sont :

- l'abondance (nombre d'individus, transects / liste restreinte),
- la densité (en poisson/m², transects /liste restreinte)
- la biomasse (en g/m², transects /liste restreinte),
- la biodiversité « 1 » (espèces observées sur les transects et de la liste restreinte),

Équation 1 : Equations de calcul de la densité et de la biomasse selon la méthodologie CCB2008

- Densité (poissons/m²) = $\mathbf{D} = (2\mathbf{L})^{-1} \sum_{i=1}^{p} n_i d_i$ - Biomasse (g/m²) = $\mathbf{W} = (2\mathbf{L})^{-1} \sum_{i=1}^{p} w_i d_i$

L: longueur du transect (20 m)

ni : nombre d'individus de l'espèce i

wi : poids de l'espèce i (g) (de l'espèce i : donc de tous les individus i de cette espèce)

di : distance moyenne de l'espèce i au transect (m)

p : nombre d'espèces.

Le poids des individus (en g) a été estimé d'après leur taille en utilisant une relation d'allométrie taille-poids, du

type: $wi = ali^b$ li = longueur du poissona et b = variables

Ces variables sont des coefficients mis au point par Kulbicki & al. pour environ 350 poissons du lagon.

Kulbicki M., Guillemot N., Amand M., 2005 - A general approach to length-weight relationships for New Caledonian lagoon fishes. Cybium 2005, 29 (3): 235-252

La biomasse et la densité sont analysées par

- -Comparaison spatiale de chaque station, entre elles, pour la mission donnée
- -Variations temporelles de densité et de biomasse totales, par famille, par transect, et par station.

3. FLUX SEDIMENTAIRES

Une campagne d'étude des flux verticaux de particules en circulation dans l'eau de mer est conduite sur 48 jours à minima, l'indicateur est de type intégrateur.

▶ Les pièges à particules de type séquentiel (Technicap, type PPS4/3) sont dotés d'une section efficace de 0,050 m², ils sont équipés de carrousels de 12 godets pour permettre la collecte d'une série temporelle de particules sédimentées. La collecte des particules est programmée pour débuter tel jour à 00h00 avec <u>un pas de temps par godet de 96 heures (4 jours)</u>; elle se termine tel jour à 00h00. Au total : 12 échantillons de matériel particulaire sont prélevés pour chacun des sites d'immersion, 12 X 4 jours par godet exposé= 48 jours de campagne.

Les tubes à sédiments sont bien moins performants que ce dispositif de pièges séquentiels, en effet les tubes immergés agrègent les informations durant toute leur immersion, sans discrimination, tandis que les pièges séquentiels sont programmés sur un pas de temps décidé et permettent de séquencer les informations et de mieux les corréler à la pluviométrie. Poissons et animaux fixés ne doivent pas perturber le piégeage des sédiments, ce qui arrive avec des tubes, les dispositifs immergés plus de 1 mois doivent être visités.

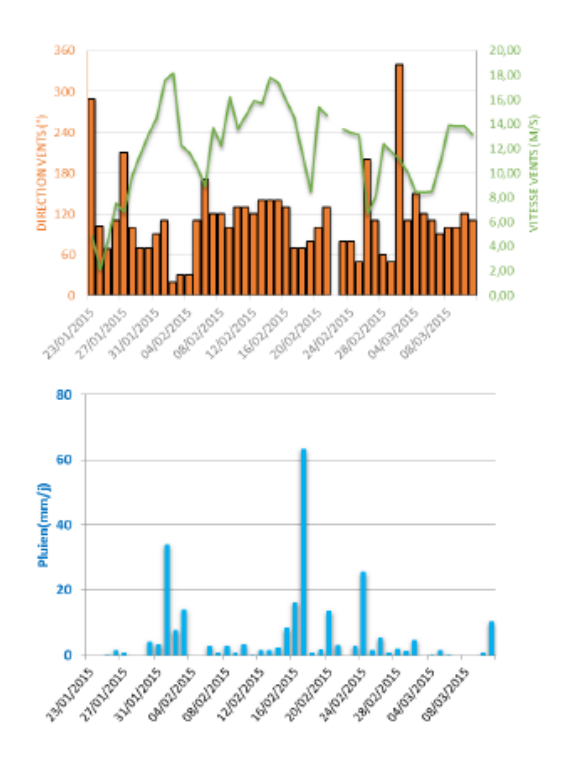
Tableau 13 : Exemple de collectes de sédiments dans les flux d'eau de la baie Kwé au premier semestre 2015

Echantillon	Période de collecte
St06-KW1-1	23-26 janvier 2015
St06-KW1-2	27-30 janvier 2015
St06-KW1-3	31 janvier-3 février 2015
St06-KW1-4	4-7 février 2015
St06-KW1-5	8-11 février 2015
St06-KW1-6	12-15 février 2015
St06-KW1-7	16-19 février 2015
St06-KW1-8	20-23 février 2015
St06-KW1-9	24-27 février 2015
St06-KW1-10	28 février- 3 mars 2015
St06-KW1-11	4-7 mars 2015
St06-KW1-12	8-11 mars 2015

- ▶ Le mouillage (pour le suivi des flux de MES), est constitué d'une ligne équipée du piège à particules séquentiel, d'un lest associé à un largueur acoustique et d'un flotteur de sub-surface (non visible de la surface), il est immergé sur le point de suivi puis récupérées 48 jours plus tard. Le largueur acoustique est nécessaire car aucune bouée ne doit être visible en surface, lors du largage par déclanchement acoustique, l'appareillage remonte en surface grâce au flotteur tandis que lest est perdu ou bien récupéré par un plongeur si la profondeur le permet.
 - Dans le canal de la Havannah: Le dispositif de collecte est placé à 3 mètres audessus du fond. Cette cote de profondeur est particulièrement importante à respecter pour les pièges mouillés à proximité du diffuseur afin que les orifices de collecte demeurent en contact avec l'effluent, même lorsque les conditions hydrodynamiques des marées de vive-eau s'exercent. Ce prérequis est conforme aux résultats des modélisations de la dispersion de l'effluent et du traçage réalisé à la rhodamine-WT; la couche affectée par l'effluent n'étant que d'environ 5 m d'épaisseur en période de vive-eau, et de 10 m par courants faibles (marées de morte-eau). Les godets doivent être placés dans la zone la plus propice à la collecte des flux d'effluent.

- Au niveau de la baie Kué, le dispositif ne peut pas être placé en eaux trop peu profondes, il demande à minima 15 d'eau (Fichez et al 2005 et guide CNRT) et pour cela il est placé au centre de la baie, dans le chenal de sortie des eaux et de brassage avec les flux entrants selon les marées et le régime des vents. Le suivi temporel des apports terrigènes issus des bassins versants de la Baie Kwé, est donc effectué dans un secteur de profondeur supérieure à 15m parce qu'il est nécessaire de s'affranchir des phénomènes mécaniques comme le charriage de grosses particules sur le fond, il n'est pris en compte dans les pièges que les fractions fines en suspension potentiellement transportables sur de longues distances par les courants, comme le suggère la modélisation.
- Ce dispositif fait partie du plan de suivi du milieu marin, du lagon et des baies, mais pas de celui d'une embouchure de rivière. (15 m d'eau sont nécessaires).
- ▶ Les échantillons de MES (matière en suspension) collectés dans les godets des pièges séquentiels, sont conservés au frais (4°C) jusqu'à la phase de traitement. Elles sont traitées au laboratoire, conditionnées puis conservées dans des sachets à usage unique.
 - Les MES sont caractérisées de manière à évaluer les fractions d'origines terrigènes et celles d'origines marines (carbonates).
 - Les flux sont estimés (g/m²/j) et confrontés aux différents régimes météorologiques.
- ▶ Les paramètres météorologiques (pluie journalière, direction et vitesse moyenne du vent) sont été donnés par la station de l'usine-pilote Vale-NC ou par la station loro, ils sont nécessaires. (Cf. figure suivante). La direction des vents (et leur force) est corrélée à la remise en suspension de sédiments fins d'origine marine à l'entrée des baies ouvertes sur le Sud, la pluviométrie n'explique pas à elle seule les flux de MES.

Figure 17 : Enregistrement journalier des taux de précipitations, de la direction des vents moyens et de la vitesse des vents moyens pour la période du 23 janvier au 11 mars 2015, durant la campagne de suivi des flux de MES



► Les analyses

Le laboratoire qui effectue les analyses est externalisé et comme explicité dans le chapitre 1 (qualité de l'eau de mer) Vale NC recherche des laboratoires pouvant présenter les meilleurs garanties de rigueur de contrôle qualité (Certification ISO, accréditation, duplicatas d'échantillons et analyses...).

Afin d'éviter les biais, les mêmes recommandations s'appliquent au niveau des échantillonneurs de terrain, que précédemment : leur niveau de compétence, leur implication dans la suite des traitements et analyses des échantillons et leur capacité à analyser les résultats, sont importantes pour la cohérence du suivi sur toutes ses phases. Une implication des mêmes acteurs du début du processus à la fin permet une meilleure compréhension pertinente.

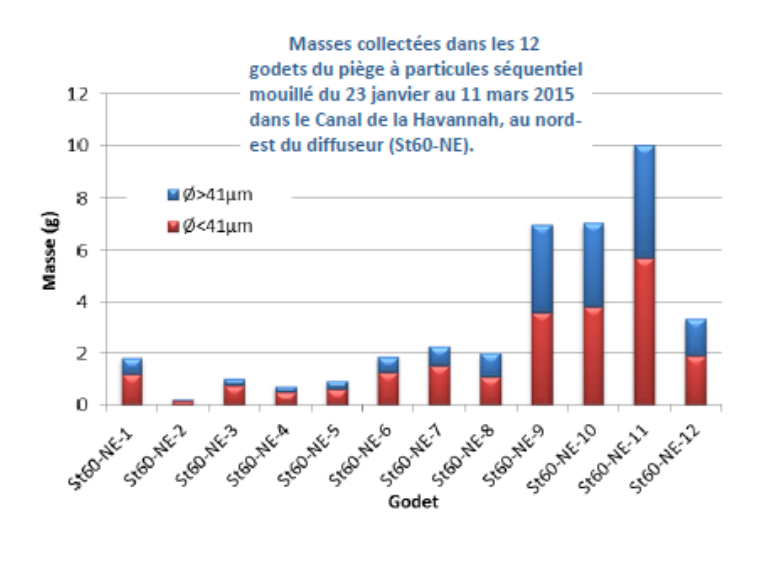
- ➤ **Teneur en carbonate**: La teneur en carbonates est calculée par relation stoechiométrique à partir des concentrations de Ca et Mg établies en mg/kg après attaque totale (fusion alcaline) des fractions pélitiques (fraction < 41µm) des MES.
- Granulométrie: L'étude de la distribution des populations de particules fines (silts et argiles) est conduite sur la fraction < 41 μm. La détermination de la distribution de ces populations est réalisée sur quatre échantillons par granulométrie laser (Malvern master Sizer 2000) sur la fraction inférieure à 41 μm. La granulométrie laser est réalisée à l'Université de Nouvelle-Calédonie.</p>
- Minéralogie: Les sources et l'évolution temporelle des matériaux sont estimées en fonction des espèces minérales décelées. Les déterminations de ces espèces sont effectuées par diffraction de rayons X (DRX) sur quatre échantillons. Cette analyse est confiée à l'Université d'Auckland (School of Environment), Nouvelle-Zélande.
- Dosage des métaux (Co, Cr, Fe, Mn et Ni), et du Ca dans les MES: Le dosage des métaux, du Ca et Mg, nécessaire pour le suivi des flux de polluants, est conduit par attaque totale des fractions pélitiques (Ø < 41 μm) MES par fusion alcaline. Seuls, Ca, Mg et 5 métaux (Co, Cr, Fe, Mn et Ni) sont analysés par ICP-OES. Des échantillons de référence (MESS-3 et PACS-2) sont attaqués selon le même protocole pour la validation des résultats de mesures.</p>
- Dosage du soufre: Le dosage du soufre est conduit par minéralisation des fractions pélitiques (Ø < 41 μm) des MES, il s'agit d'une attaque acide à haute température en conditions hyperbares. L'analyse du soufre est effectuée par ICP-OES. Ce dosage est effectué pour déterminer les éventuelles formations de gypse lors du rejet de l'effluent.</p>
- ▶ Dosage des HCT : L'analyse des hydrocarbures totaux est effectuée sur le sédiment brut par la norme NF EN ISO 9377-2.

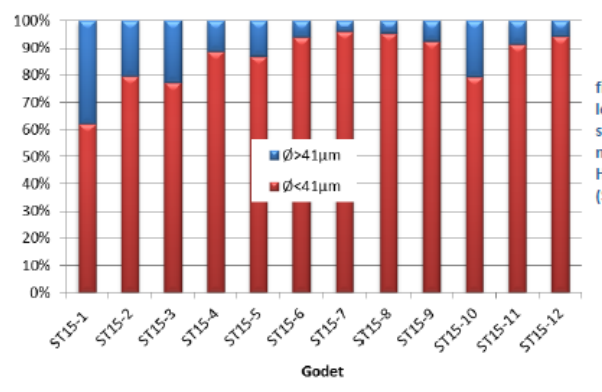
► Les résultats

Masse et la granulométrie des MES

Par stations et par godets (4 jours en continue de prélèvements) sont enregistrées la <u>masse globale</u> de MES collectée mais aussi <u>par fractions</u> entre les pélites les plus fines et des déments plus grossiers, tout en restant dans des matières en suspension.

Figure 18 : Exemple de présentation des résultats : masses collectées par godets (périodes de 4 jours) et fractions des déments fins et plus grossiers

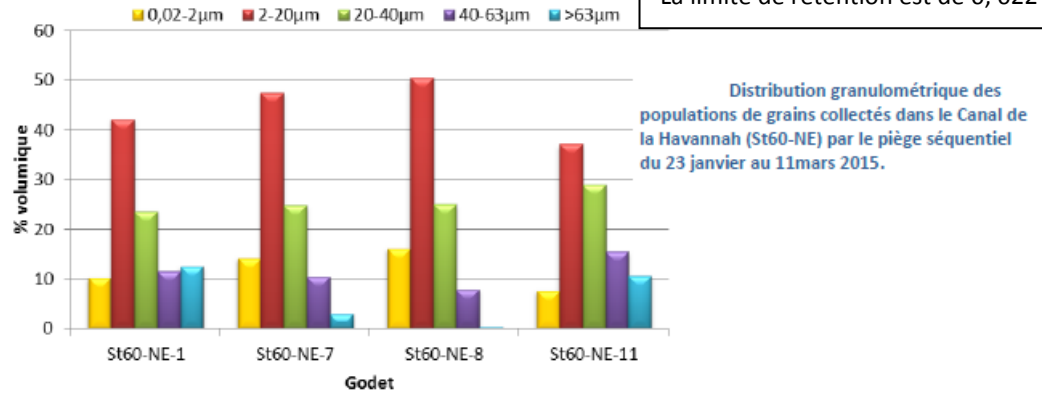




Pourcentage des fractions fines et des fractions grossières dans les 12 godets du piège à particules séquentiel moillé du 23 janvier au 11 mars 2015 dans le Canal de la Havannah, au nord-est du diffuseur (St60-NE).

5 classes : Argiles fines < 2 μ m ; 2 classes pélitiques (< 41 μ m) : silts fins de 2 à 20 μ m et silts plus grossiers de 20 à 40 μ m ; la fraction de 41 à 63 μ m ; puis < 63 μ m.

La limite de rétention est de 0, 022 μm



Composition minéralogique

- -<u>Calcite et aragonites</u> qui sont des indicateurs d'influence marine
- -Goethite qui est un indicateur d'influence terrigène

> Teneur en carbonate

Elle indique la fraction d'origine marine des MES et corrobore la composition minéralogique afin d'évaluer le % d'influence terrigène et le % d'influence marine, ce dernier étant corrélé aux secteurs du vent et à la force de celui-ci, notamment en baie Kué.

Composition géochimique des MES

- Concentrations en Ni, Co, Cr, Mn et Fe + Ca
- Calculs des coefficients de corrélation : Corrélations Ni, Co, Mn et Fe (indicateurs terrigènes) et anti corrélation avec le Ca (indicateur marin)
- <u>Ratio Ca / Fe</u> est un bon indicateur intégrateur, son évolution temporelle à la hausse ou à la baisse indique le ratio : influence marine / influence terrigène. Il ne peut pas indiquer si l'influence terrigène est naturelle, anthropique historique ou due à une activité en cours, sa corrélation avec la pluviométrie et le régime des vents est nécessaire.

Les résultats doivent être présentés de façon synthétique explicite, avec un visuel permettant la corrélation avec la météorologie. Un exemple est proposé en figure suivante.

> Calculs des flux de matières

- o Flux en MES (en grammes/m²/jour)
- o Flux en éléments métalliques (en milli grammes/m2/jour)
- Comparaison depuis les états initiaux et l'ensemble des campagnes de suivi de ce type.
- Tendances évolutives.

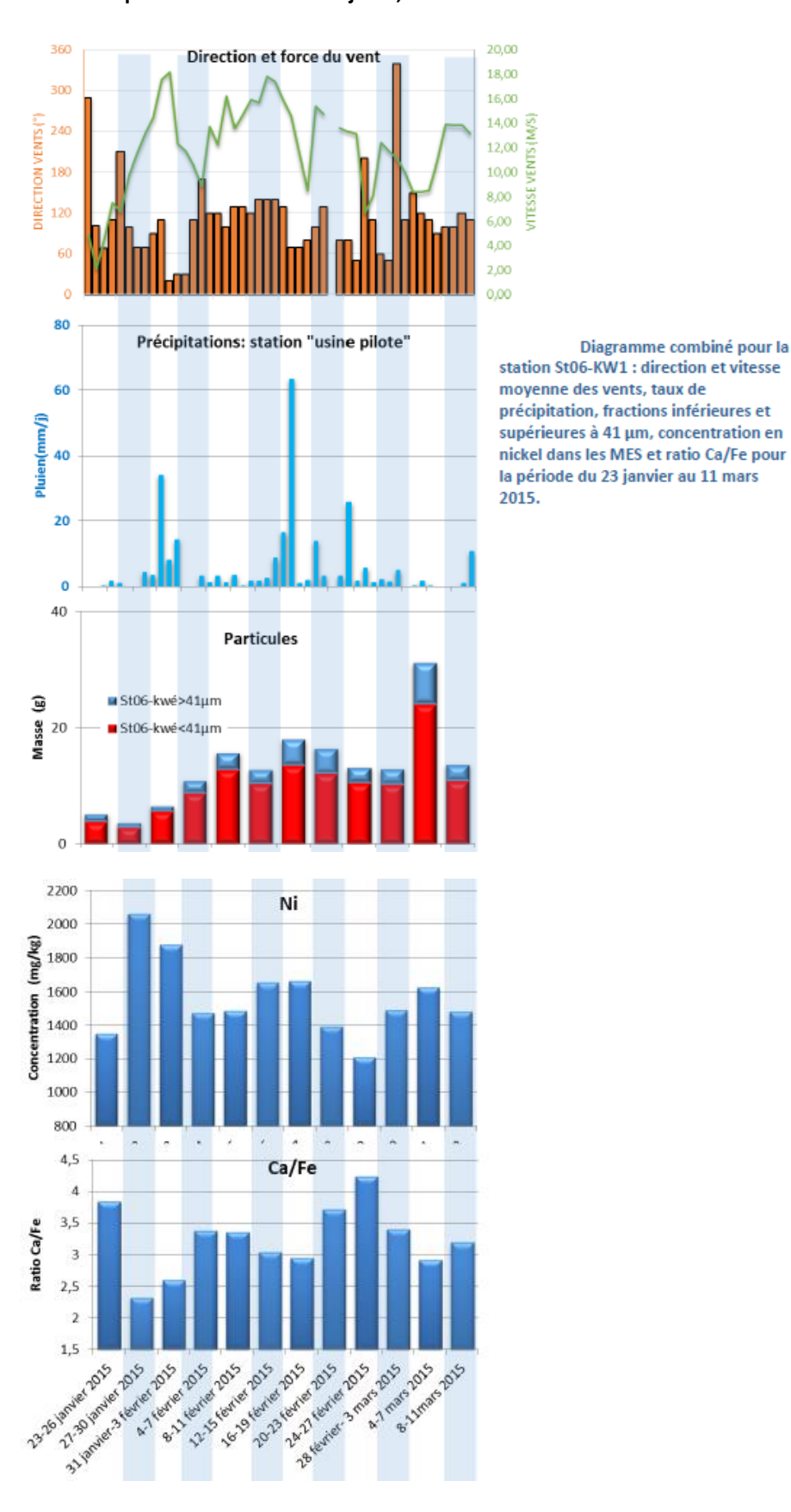
Remarque: Les flux de matières ne sont pas corrélés au taux de sédimentation sur un même lieu. Ces deux types d'indicateurs ne doivent pas être confondus. Par exemple en milieu côtier en saison humide un flux de particules de 45 g/m2/jour est courant, hors phénomène pluvieux exceptionnel et hors impact, pour un taux d'accumulation qui sera de 1,80 g/cm2/an.

La pluviométrie n'est pas toujours corrélée immédiatement avec les flux de particules en aval d'un creek, en effet un décalage dans le temps peut avoir lieu, en fonction des volumes de rétention ou du relargage de lentilles de sédimentations en amont dans le lit d'un creek.

La direction des vents et la houle remettent en suspension des matières d'origine marine (calcaire) dans de nombreuses baies. Un « coup de houle » fera grimper les flux de MES, hors apport terrigènes.

Les digrammes tels que ceux présentés ci-dessous montrent ces phénomènes complexes, seule une analyse d'expert peut en tirer des conclusions.

Figure 19 : Direction et vitesse du vent, pluviométrie et flux de MES : masse par godets de 4 jours de prélèvements et sur 48 jours, concentration en nickel dans les MES et Ratio Ca/Fe.



4. QUALITE DES SEDIMENTS PRELEVES

La collecte des sédiments de surface est effectuée par benne Van-Venne en acier inoxydable de nuance 316 L. Pour chaque échantillon, la couche centimétrique de surface est prélevée et conditionnée dans des sachets en vinyle à usage unique (Whirl-Pack) référencés. Les sédiments ainsi conditionnés sont conservés à 4°C, puis de retour au laboratoire ils sont congelés et lyophilisés.

Une séparation granulométrique des sédiments est effectuée par voie humide (Eau Milli-Q 18.6 μ S.cm-1) afin de récupérer la fraction sédimentaire chimiquement la plus réactive (pélites = particules < 40 μ m). Les tamisages sont conduits sur les aliquotes sédimentaires comprises entre 10 et 100 g selon nécessité et les fractions récoltées sont séchées à l'étuve (40°C) puis conditionnées pour leur conservation jusqu'à l'analyse des métaux.

► Analyse des compositions granulométrique

La caractérisation des sédiments est conduite par analyse granulométrique aux seuils de coupures standards pour séparer, le cas échéant, les sables moyens et grossiers (\varnothing > 500 μ m), les sables fins (500 < \varnothing < 250 μ m), les silts grossiers (250 < \varnothing < 125 μ m), les silts moyen (125 < \varnothing < 63 μ m) et les silts fins plus les argiles (\varnothing < 63 μ m).

L'étude de la distribution des populations de particules composant la fraction fine (silts plus argiles inférieurs à 40µm) est nécessaire car elles déterminent à elles seules 90% des capacités géochimiques d'échange du sédiment qui sont à relier au potentiel toxique de celui-ci.

La distribution de ces populations de particules fines est réalisée par granulométrie laser après remise en suspension des sédiments, ajout d'agent dispersant (Pyrophosphates de Na/K) et agitation aux ultrasons. Cette analyse est confiée à l'Université d'Auckland (School of Environment), Nouvelle-Zélande.

► Analyse des compositions minéralogique

Les espèces minérales sont déterminées par diffraction de rayons X (DRX) sur des échantillons séparés à 40 µm (pélites) modérément broyés. L'appareil utilisé est un Philips (PW1050/25) équipé d'une anticathode Cu. La recherche des minéraux est réalisée avec le code UPDSM.

Cette analyse a été confiée à l'Université d'Auckland (School of Environment), Nouvelle-Zélande.

▶ Dosage des métaux liés aux fractions géochimiques

Pour le suivi triennal, des extractions séquentielles sur les sédiments sont conduites de manière à séparer 4 phases géochimiques. Cette méthodologie permet de mieux appréhender les effets de l'impact d'une contamination métallique potentielle dans le milieu. Les deux premières étapes du protocole permettent de mettre en évidence les conditions sédimentaires et les influences anthropiques, les deux dernières reflètent l'évolution géochimique naturelle.

Pour chaque échantillon, les 4 formes géochimiques suivantes des métaux Co, Cr, Cu, Fe, Mn, Ni et Zn ainsi que de Ca ont été extraites :

- *formes oxydables* : Cette fraction représente les métaux liés à la matière organique du sédiment. Leur extraction est conduite par un oxydant fort en milieu acide ;
- -formes acido-solubles : C'est une fraction facilement solubilisable par l'utilisation d'un acide faible tamponné en solution qui attaque en particulier la matrice carbonatée du sédiment. Elle contient également des éléments très faiblement liés aux autres phases géochimiques ; -
- *-formes réductibles* : Elles sont associées aux oxy-hydroxydes de fer et manganèse principalement. Leur extraction s'opère avec un agent réducteur puissant en milieu faiblement acide ;

-formes réfractaires : Elles représentent les éléments métalliques fortement liés ou constituant la matière minérale tels que les silicates et aluminosilicates. L'analyse des métaux réfractaires a été conduite après attaque de la matrice géochimique par fusion alcaline à haute température puis solubilisation de l'amalgame avec un acide dilué.

ANNEXE 1. Méthodologies

selon le métal

Après mise en solution (séquentielle ou totale), les métaux et le calcium sont dosés par spectrométrie d'émission optique couplée à une torche plasma (ICP-OES Varian, modèle Vista).

Description	Distribution des métaux dans les sédiments disponibles : granulométrie, minéralogie et concentration en métaux					
Normes et publication	Tessier et Al 1979					
Prélèvements						
Méthode	Benne à sédiments ou carottier					
Nombre de stations	14					
Fréquence	Tous les 3 ans sauf au port où le suivi est annuel					
Analyses	Méthode	Normes	Limites de détection			
Granulométrie	Diffraction laser		0,01µm			
Minéralogie	Diffraction aux rayons x					
Extraction séquentielle des phases organiques	Dissolution fractionnée et dosage ICP-OES	Tessier et Al 1979	Entre 0,005 et 0,02µg/L selon le métal			
Métaux As, Ca, Cd, Co, Cr,	Attaque totale et		Entre 0,005 et 0,02µg/L			

dosage par ICP-OES

Tableau 14: Méthodologie pour le suivi des sédiments

5. TAUX DE SEDIMENTATION

La méthodologie déployée dans le cadre de cette étude a été spécifiquement développée pour les niveaux de concentration à l'état de traces dans les milieux lagunaires tropicaux et les techniques ont été validées par des publications à comité de lecture. Les techniques analytiques estampillées NF ou ISO, ne sont pas directement applicables dans le contexte des milieux lagunaires de la Nouvelle-Calédonie. En outre, pour répondre spécifiquement aux objectifs annoncés, il a été nécessaire de mettre en œuvre des techniques de carottage adaptées pour individualiser les couches sédimentaires d'épaisseur centimétrique.

Le taux d'accumulation des sédiments dans le milieu naturel, au fond, ne doit pas être confondu avec les flux de matière (chapitre précédent).

► Les prélèvements des carottes

Ils sont effectués avec un carottier conçu pour les faibles profondeurs (< 50 m) afin que la mise en œuvre puisse s'effectuer à partir d'une embarcation à faible tirant d'eau. (Si non les zones d'embouchure et peu profondes du lagon ne pourraient pas être suivies).

Le carottier est composé de tubes amovibles de 0,60 m ou 1,20 m de longueur pour un diamètre externe de 8 cm. Des tubes en plexiglass sont utilisés afin de conserver l'intégrité géochimique des sédiments. Par ailleurs, ce type de carottier présente l'avantage d'assurer une très bonne conservation de l'interface « eau-sédiments ».

Des carottes de 14 à 26 cm de profondeur sont extraites afin de déterminer les taux d'accumulation, une carotte de 35 cm est prélevée en Baie de Kwé pour estimer les apports relatifs au front de mine.

Cu, Fe, Ni, Zn.*

* + Hg en 2014/2015

Après extraction, <u>chaque carotte est maintenue verticalement</u> jusqu'à son découpage intégral en différents horizons d'une épaisseur égale à 1 cm.

Une prise d'essai d'un volume de 10 mL de sédiment est aussi effectuée à l'aide d'une seringue dans chaque horizon pour les déterminations des densités et de la porosité des sédiments nécessaires au calcul des taux d'accumulation.

Les horizons de carotte échantillonnés sont conditionnés dans des sachets en vinyle à usage unique (Whirl-pack), congelés puis lyophilisés.

▶ Les opérations réalisées sur les différents horizons sont les suivantes :

- Détermination de la concentration totale des métaux après attaque des sédiments par fusion alcaline et analyse par spectrométrie d'émission (ICP-OES);
- Détermination des taux d'accumulation par la méthode dite du « 210Pb en excès ». Dans cet objectif, la radioactivité des radionucléides naturels 210Pb et 226Ra a été déterminée par « spectrométrie gamma basse énergie » dans chaque horizon de sédiment brut.
- Sur 4 horizons sélectionnés après un examen visuel de la carotte, une analyse des populations de grains par granulométrie laser et une détermination de la composition minéralogique par diffraction de rayons X (DRX) sont conduites.

Tableau 15: Méthodologie pour le suivi des sédiments: Taux d'accumulation

Description	Rapidité du taux de sédimentation				
Normes et publication	Godberg ED 1963, Geochronologie with Pb-210 in radioactive dating. Internat atom Energy Agency 121-131				
Prélèvements	Carottier piston				
Analyses	Méthode	Normes	Limites de détection		
Datation	Spectométrie Gamma basse énergie 46, 54 KeV (pour Pb ²¹⁰)	Faure 1986	0,003 Bq/g		
Densité	Teneur en eau		0,01 mg/L		
Granulométrie et minéralogie	Diffractomètre laser et Diffraction rayons x		0,1μm Traces		
Métaux : Géo- chimie : As, Cd, Co, Cr, Mn, Ni, Pb, Zn	Attaque totale ICP-OES		Entre 0,001 et 0,02μg/L selon les éléments		

▶Les analyses supplémentaires réalisées seulement sur la carotte St16 du port de Prony sont les suivantes

- Analyse de la concentration en métaux associés aux différentes phases géochimiques composant les horizons. Cette étape a été conduite par extraction séquentielle (Tessier et al., 1979 ; Quevauvillier et al., 1997), l'analyse ayant été effectuée par spectrométrie d'émission (ICP-OES);
- Analyse du soufre, dont la concentration permet le suivi du niveau d'impact des activités portuaires sur le milieu marin (opérations de déchargement).

Tous les échantillons de sédiments destinés au dosage des métaux ont été tamisés par voie humide afin de récupérer les fractions pélitiques (particules de diamètre inférieur à 40 μ m); la fraction

pélitique étant considérée de longue date, comme la fraction la plus réactive en matière d'échanges géochimiques avec les métaux (Mayer and Fink, 1979; Ackerman, 1980; Deely and Fergusson, 1994; He and Walling, 1996).

► Méthode d'analyses :

- Dosage des carbonates: Les teneurs en carbonate sont déterminées par la méthode dite du « calcimètre de Bernard ». Elle consiste en une attaque du sédiment par une solution d'acide chlorhydrique qui génère la formation de CO2. Le volume de gaz est titré et la concentration en carbonate de calcium est déterminée par relation stoechiométrique.
- Granulométrie: L'étude de la distribution des populations de particules fines (silts et argiles)
 est conduite sur la fraction < 2000 µm. La distribution de ces populations est réalisée par
 granulométrie laser (Malvern), après remise en suspension des sédiments, ajout d'agent
 dispersant (Pyrophosphates de Na/K) et agitation aux ultrasons.
- Minéralogie (DRX): Les espèces minérales sont déterminées par diffraction de rayons X (DRX) sur des échantillons broyés. L'appareil utilisé est un Philips (PW1050/25) équipé d'une anticathode Cu. La recherche des minéraux est réalisée avec le code UPDSM.
- Dosage de la concentration totale des métaux : L'analyse de la concentration totale des métaux, contenus dans les horizons des différentes carottes, est conduite par attaque totale des sédiments par fusion alcaline (voir protocole « dosage des métaux dans les phases géochimiques »). Après mise en solution, les métaux Co, Cr, Fe, Mn, Ni et Ca sont dosés par ICP-OES.
- Dosage des métaux dans les phases géochimiques: Les étapes d'extraction séquentielles sont conduites avec un protocole modifié de type Tessier et al. (1979) comprenant 4 phases géochimiques. Pour chaque échantillon, 2 g de pélites sont nécessaires pour extraire les métaux des 4 phases géochimiques afin de séparer les formes suivantes:
 - Formes oxydables: Cette fraction représente les métaux liés à la matière organique ainsi aux sulfures du sédiment. Leur extraction est conduite par un oxydant fort (H2O2, 110 vol) en milieu acide;
 - Formes acido-solubles : C'est une fraction facilement solubilisable par l'utilisation d'un acide faible tamponné en solution (CH3COOH/CH3COONH4) qui attaque en particulier la matrice carbonatée du sédiment. Elle contient également des éléments très faiblement liés aux autres phases géochimiques ;
 - Formes réductibles: Elles sont associées aux oxy-hydroxydes de fer et manganèse principalement. Leur extraction s'opère avec un agent réducteur puissant (NH2OH, HCI) en milieu faiblement acide;
 - Formes réfractaires : Elles représentent les éléments métalliques fortement liés au constituant la matière minérale tels que les silicates et aluminosilicates. L'analyse des métaux réfractaires a été conduite après attaque de la matrice géochimique par fusion alcaline, selon le protocole en vigueur à l'IRD. Il s'agit de faire réagir du tétraborate de lithium et du sédiment à haute température (1100°C) puis, après refroidissement partiel, de dissoudre les billes d'amalgame formées dans une solution acide (HCI).

Tous les réactifs utilisés sont de marque Merck, qualité ProAnalysis. Les béchers et ustensiles sont soit en PEHD ou en Teflon®.

Après mise en solution, les huit éléments suivants sont analysés par ICP-OES : Ca, Cu, Co, Cr, Fe, Mn, Ni et Zn.

- Dosage du soufre lixiviable: L'extraction du souffre lixiviable est réalisée par agitation mécanique de 1g de sédiment dans 100 mL d'eau ultra-pure pendant 16 heures. Les échantillons sont ensuite centrifugés à 3000 RPM puis filtrés à 0,45 µm avant d'être analysés à l'ICP-OES.
- Dosage du soufre échangeable selon la procédure d'extraction BCR: L'attaque est conduit sur 1 g de sédiment sec avec 40 ml d'acide acétique 0,11 M pendant 16 h à température ambiante; l'échantillon est ensuite centrifugé à 1500 RPM pendant 20 minutes puis filtré à 0,45 µm avant d'être analysé par ICP-OES.
- Géochronologie : La datation des horizons sédimentaires nécessaire à l'évaluation des taux d'accumulation est obtenue par l'analyse de la radioactivité d'un radio-isotope, le 210Pb, naturellement présent dans les sédiments.

La technique consiste à déterminer :

- le 210Pb « atmosphérique » qui provient indirectement de la désintégration du 222Rn, descendant gazeux du 226Ra contenu dans les roches qui se dégage dans l'atmosphère. Intégré aux aérosols, en quantités importantes selon un flux supposé constant, le 210Pb est d'abord entraînés par les pluies, puis transporté par les rivières jusqu'à la mer, où il va sédimenter avec les particules.
- le 210Pb « supporté » qui apparaît au sein même de la roche (ou du sédiment) et qui ne subit donc pas le cycle atmosphérique. Son apport aux sédiments découle de l'érosion des sols et de son transport fluvial vers le bassin de sédimentation.

Le 210Pb constitue un excellent outil permettant la datation des carottes sédimentaires sur une échelle de temps de l'ordre de 100 ans (He & Walling, 1996 ; Valette-Silver, 1993). Dans les couches sédimentaires, la radioactivité du 210Pb d'origine atmosphérique décroît de manière exponentielle en fonction du temps à un taux fixé par sa période de demi-vie (T½ = 22,26 ans). A une profondeur donnée, sous l'interface eau-sédiment, la radioactivité du 210Pb dépend donc de la durée écoulée depuis sa déposition et du taux d'accumulation. La radioactivité propre du 210Pb en excès est calculée en soustrayant à la radioactivité totale du 210Pb celle du 210Pb « supporté », mesurée dans les niveaux les plus profonds, où la contribution atmosphérique est négligeable.

```
L'âge t du sédiment A est alors obtenu selon les équations suivantes (modèles CIC et CRS): t_{CIC} = \frac{1}{\lambda} \ln \left( \frac{2^{10}Pb^0}{^{210}Pb} \right)_A \qquad \qquad \lambda = 3,11.10^{-2} \text{ an}^{-1}; (^{210}Pb^0)_A = \text{ la radioactivit\'e dans le niveau de surface } (h=0); t_{CRS} = \frac{1}{\lambda} \cdot \ln \left( \frac{A_{(\infty)}}{A_{(\infty)} - A_{(t)}} \right) \qquad \qquad A^{(\infty)} = \text{ le flux total de Pb-210 }; A(t) = \text{ le flux de Pb-210 pour l'instant } t. Le taux d'accumulation « a » (g.cm^{-1}.an^{-1}) est alors : a = h/t La radioactivit\'e du ^{210}Pb a été déterminée par spectrométrie gamma basse énergie à 46.54 keV. La chaine de mesures utilisée est composée d'un spectromètre ORTEC X et d'un détecteur au béryllium de 80 % de rendement.
```

▶Résultats

Les résultats sont les conclusions des experts en océanographie sous une présentation pédagogique avec des résumés relativement synthétiques. Vale NC ne se permet aucune censure et une fois le cahier des charges rempli, l'expert peut exprimer ses recommandations ou ses recherches plus approfondies. Le rapport intégral d'expertise est en donné annexe du bilan des bilans des suivis présentés par Vale NC aux autorités de tutelle.

Comme pour les suivis précédents la capacité des échantillonneurs à traiter les échantillons et analyser les résultats est un plus en implication pour une rigueur méthodologique maîtrisée sur toutes les phases du processus.

Dans l'exemple ci-dessous : La composition minéralogique des sédiments reste constante le long du profil vertical jusqu'à l'horizon 17-18 cm : les minéraux comme la calcite, l'aragonite et la calcite magnésienne sont largement majoritaires et marquent la forte influence marine, par contre la présence de goethite signe l'influence d'apports terrigènes d'origine latéritique et ceux-ci sont présents même dans les sédiments les plus anciens (profonds : horizon 33/34 cm).

La composition minéralogique évolue en profondeur, avec à l'horizon 33-34 cm où la présence de kaolinite est fortement marquée.

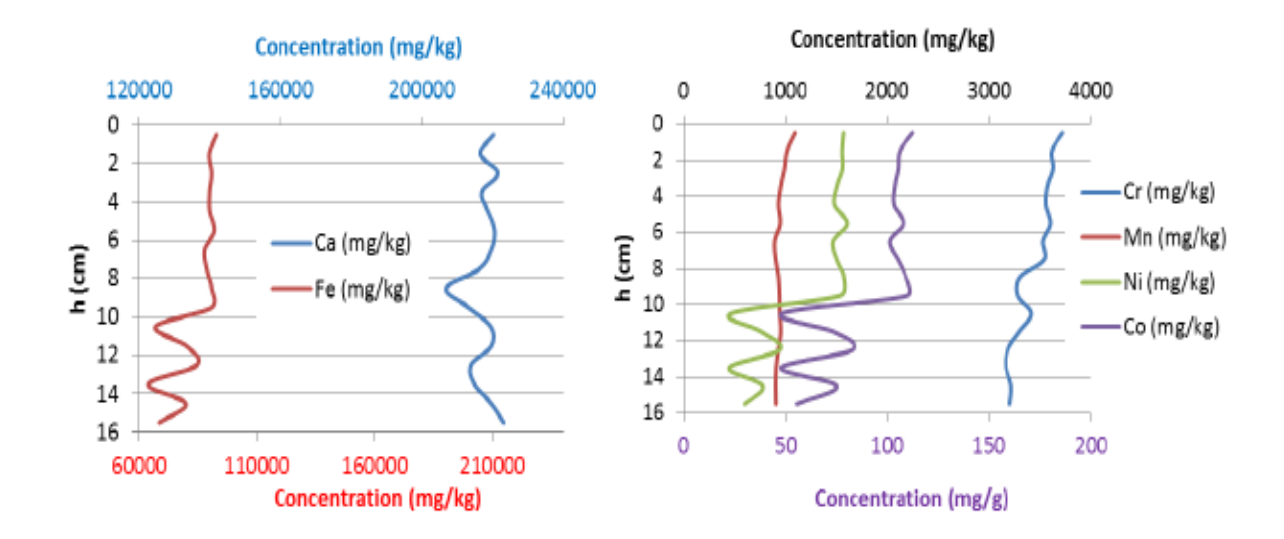
Tableau 16 : Composition minéralogique des sédiments pour les horizons (0-1 cm), (1-2 cm), (17-18 cm) et (33-34 cm) de la carotte St06 de la baie Kué

Horizon	Mineral						
	Mg-Calcite	Calcite	Aragonite	Goethite	Kaolinite	autres	
0 - 1 cm	-	A	A	A	Δ	-	
1 - 2 cm	A	A	A	A	Δ	-	
17 - 18 cm	A	A	-	A	Δ	-	
33 - 34 cm	-	A	A	A	A	Δ	

▲ = présence ; Δ = Probabilité de présence à l'état de traces (minimum 5% massique)

La présentation suivante montre les métaux dans les sédiments en fonction de la profondeur de ceuxci, l'horizon le plus ancien étant le plus profond et en surface il s'agit des dépôts quasi actuel.

Figure 20 : Profils des concentrations totales en métaux (Co, Cr, Fe, Mn, Ni) et du calcium dans la fraction pélitique des sédiments de la carotte St16 du port de Prony



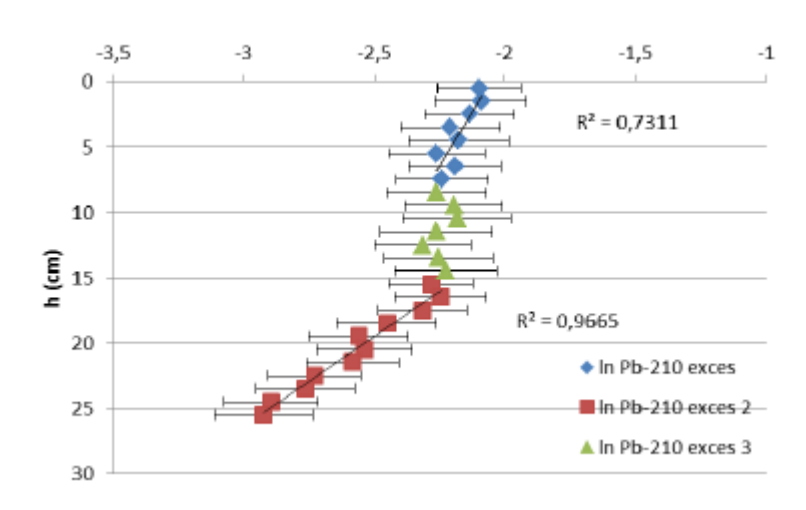


Figure 21 : Profil vertical de la radioactivité du « 210Pb en excès » dans les sédiments de la carotte St06.

Le premier épisode est constitué par les horizons de 0 à 8 cm, il présente un taux de décroissance radioactive rapide et équivaut à un taux d'accumulation de 1,23 g/cm²/an (R²=0,780).

Pour le second épisode, le plus ancien, qui est identifié entre les horizons 15 et 25 cm, le taux d'accumulation calculé est de 0,37 g/cm²/an.

Ces deux épisodes de sédimentation continue sont séparés par un horizon de 7 cm d'épaisseur dont la radioactivité est relativement constante ce qui signifie un apport sédimentaire chaotique et fort en peu de temps, La présence de cette couche est la démonstration de l'irrégularité des phénomènes sédimentaires.

La datation des couches est délicate et demande plusieurs méthodologies couplées et avis d'experts, par deux modèles théoriques CIC (Robbins et Edgington, 1975) et CRS (Appleby et Oldfield, 1978) puis par une troisième approche développée sur la base du système CRS (noté CRS/MV),

6. TRANSPLANTATION

Le principe, les avantages, la mise au point et les aspects techniques de la méthode de transplantation sont présentés de manière détaillée dans le rapport Breau et al., 2009a. Par ailleurs, cette technique de surveillance est recommandée par le « Guide pour le suivi de la qualité du milieu marin en NC » élaboré à la demande conjointe de l'ADECAL et du CNRT « Le Nickel et son environnement » (Beliaeff et al. 2011). Enfin, la méthode de transplantation mise en oeuvre suit en outre étroitement les recommandations formulées dans le protocole international standardisé ASTM E2122-02.

La méthode de transplantation d'espèces marines en stations artificielles (ou « caging ») consiste à immerger pendant trois à cinq mois une ou plusieurs espèces dites « bio-indicatrices accumulatrices de métaux » (Lobophora variegata, une algue et Isognomon isognomon, un bivalve). Cette expérimentation s'effectue dans des cages en plastique disposées à mi profondeur (de 5 à 12 m) et des localisations géographiques prédéfinies.

Pendant cette durée d'immersion des spécimens dans le milieu récepteur à surveiller, les concentrations en métaux dans les tissus de ces êtres vivants s'équilibrent progressivement et de façon proportionnelle avec celles des mêmes métaux présents sous formes bio-disponibles pour ces espèces dans le milieu ambiant. Cette accumulation dans les chairs fournit donc une indication quantitative des apports globaux en métaux qui sont bio-disponibles dans le milieu marin pour le bio-indicateur.

A l'issue de cette période d'immersion, les concentrations en huit métaux accumulés dans les tissus des espèces sont mesurées par analyse chimique. Les divers paramètres physiologiques (taux de croissance et condition physiologique globale) sont également étudiés chez les bivalves.

Cette méthode offre des avantages importants pour le suivi environnemental car elle permet à l'expérimentateur de contrôler un certain nombre de facteurs biologiques (ex. l'espèce de spécimens transplantés, leurs tailles et stade du cycle sexuel,...) qui influent fortement sur la variabilité des concentrations des contaminants bio-accumulés. L'utilisation pour la transplantation de spécimens récoltés dans un site de référence (non contaminé comme la Baie Maa) abritant des populations importantes permet de s'affranchir de la nécessité de la présence naturelle de ces espèces sur les points de suivi. Elle autorise donc de positionner judicieusement les stations de surveillance. Elle assure aussi l'obtention, pour chacune des stations étudiées, de résultats directement comparables entre eux : les résultats obtenus sont le reflet de la quantité moyenne de contaminant disponible pendant la période de transplantation pour l'organisme transplanté en fonction d'un ensemble de facteurs hydro-climatiques et/ou anthropiques.

La bioaccumulation des métaux a pour objectif d'obtenir des informations intégrées dans le temps, en mesurant les concentrations dans les tissus biologiques. Ces résultats fournissent une représentation lissée des fluctuations à court terme des concentrations en métaux dans le milieu ambiant.

Le rapport scientifique 2015 du CNRT « Nickel et son environnement » ADIIP Amélioration et Développement d'Indicateurs d'Impact et de Pression pour le suivi du milieu marin, 95 pages, présente les dernières avancées de cette méthodes dans son volet 2. (S Pluchino, L. Breau, B.Andral, S. Kumar-Roiné, JM Fernandez.)

7. ANALYSE TEMPORELLE DES IDICATEURS ET SYNTHESE

Les bilans de suivis comportent :

- 1. Une première partie : celle des résultats bruts et/ou agrégés au niveau de l'ensemble des indicateurs sur l'ensemble des stations imposées, au temps t de la mission.
- 2. Une seconde partie, exigée auprès des cocontractants spécialistes dans leur domaine : celle des analyses comparatives et des évolutions. (Stratégie de suivi BACI = Before / After & Control / Impact) :
 - 2.1.Les évolutions spatiales comparent les stations entre elles au temps t le plus souvent par des cartes présentant un indicateur sur l'ensemble du domaine surveillé. Les stations sous influence Vale NC et leur station de contrôle homologue (témoins) doivent être analysées de pair, autant que possible. Cela fait partie de la stratégie de suivi : Impact/Control
 - 2.2.Les évolutions et tendances temporelles: Les états initiaux et les données de référence comparatives sont rappelés dans chaque bilan semestriel. Les courbes de l'évolution d'un indicateur sur une station, depuis les états de référence jusqu' au temps t de la mission en cours, permettent de dégager des tendances évolutives. Cela fait partie de la stratégie de suivi: Before/After. Il est nécessaire de définir de façon de plus en plus précise au fil des campagnes la variabilité naturelle, saisonnière (extension des algues par exemple) ou cyclique (blanchissement corallien par exemple, en fonction des dépressions et cyclones) afin de pouvoir décerner une modification qui soit supérieure à la variabilité naturelle de l'indicateur.
 - 2.3.Il est essentiel de raisonner en termes de tendances évolutives significatives. Il n'est pas rigoureux de tirer des conclusions uniquement à partir d'une donnée ponctuelle ; ou par seulement une comparaison avec une grille de lecture car il n'existe aucun seuil en milieu naturel et les hyrdo-régions sont nombreuses et très différentes entre elles.
 - 2.3.1.Comme le souligne le guide CNRT/ZoNeCo pour le suivi de la qualité du milieu marin en Nouvelle-Calédonie : *Il est impossible de donner une grille de lecture de valeurs seuils,* seules des fourchettes indicatives sont données et elles sont en cours de révision.
 - 2.3.2.Une seule donnée dans une hydro-région de type, ne peut pas être comparée à une donnée dans une hydro-région de type b, cela va à l'encontre de la méthode « Control /Impact »
 - 2.3.3.Un seul indicateur sur la cinquantaine d'indicateurs suivis ne peut pas à lui seul permettre de conclure sur le bon ou mauvais état global d'une zone. La santé même excellente d'une écosystème sur une zone donnée, n'exclue pas la présence d'un indice de stress (par exemple en réserve Merlet, il y a toujours un % de blanchissement corallien et des maladies de coraux , en bruit de fond naturel, cela ne permet pas de dire que cette réserve est en mauvaise santé).

3. L'ensemble des indicateurs physiques, chimiques, biologiques, ponctuels et intégrateurs, doivent être conjointement analysés, pour cela une communication et une synergie sont nécessaires entre les différents spécialistes qui assurent les compagnes de surveillance : océanographes, chimistes de laboratoire, ichtyologues, spécialistes du corail, biologistes et plongeurs... doivent partager leurs connaissances et leurs questionnements. Pour cela, et sous la demande de l'ingénieur coordinateur des suivis marins, des réunions ont lieu avec l'ensemble de ces scientifiques, pour chaque campagne semestrielle. Si une alerte est donnée sur une station, cette alerte est due à une réflexion conjointe est intégrée suite à la prise en considération de tous les indicateurs. (Ex : la station sur la pointe Puka en 2013, campagnes supplémentaires conjointes physico chimie et biologie).

8. REFERENCES BIBLIOGRAPHIQUES PRINCIPALES

8.1. Qualité de l'eau de mer

Achard R, Kumar-Roiné S, Kaplan H, Pluchino S, Haddad L, Laurent A, et Fernandez JM (2015). Suivi des densités de flux verticaux de particules dans le Canal de la Havannah, la Baie Kwé et la Rade Nord de Prony : mission janvier-mars 2015. Contrat Vale-NC/AEL n° 3052-2013, 68p.

Ambatsian, P., Fernex, F., Bernant, M., Parron, C., Lecolle, J., 1997. High metal inputs to close seas: the New-Caledonia Lagoon. Journal of Geochemical Exploration. 59, 59-74.

Atlas de Nouvelle-Calédonie et dépendances (1981). Editions de l'Office de la Recherche Scientifique et Technique Outre-Mer, Paris, 53p.

Aminot A, Kérouel (2004). Hydrologie des systèmes marins. Paramètres et Analyses. Ed. Ifremer, 336 p.

Bird, E.C.F., Dubois, J.P., Iltis, J.A., 1984. The impact of opencast mining on the rivers and coasts of New Caledonia. The United Nation University, NRTS-25/UNUP-505.

Breau L, Senia A, Pangrani K, Garcia JP et Debenay JP (2009). Développement de méthodes d'évaluation de la toxicité et analyse du risque chimique de l'effluent pour l'environnement marin. Convention IRD/Goro-Ni, n°1124, « Ecotoxicologie », 117p.

Douillet, P., Ouillon, S., Cordier, E., 2001. A numerical model for fine suspended sediment transport in the southwest lagoon of new Caledonia. Coral Reefs. 20, 361–372.

Douillet P et Fernandez JM (2009). Modélisation et simulation du transport des formes particulaires d'origine naturelle : Simulation annuelle de la sédipmentation des particules naturelles en contact avec l'effluent. Convention IRD/Goro-Ni, n°1124, « Modélisation hydrodynamique », 55p.

Dugas, F., 1974. La sedimentation en baie de St Vincent (Côte ouest de la Nouvelle-Caledonie). Cah. ORSTOM, ser.Géol. VI, 1, 41-62.

Fanning GO, Pilson MEQ, 1973. On the spectrophotometric determination of dissolved silica in natural waters, Analytical Chemistry, 45: 136-140.

Fernandez, J-M., Ouillon, S., Chevillon, C., Douillet, P., Fichez, R., Le Gendre, R., 2006. A combined modelling and geochemical study of the fate of terrigenous inputs from mixed natural and mining sources in a coral reef lagoon (New Caledonia). Marine Pollution Bulletin. 52, 320-331.

Fernandez JM, Dolbecq M, Damien P et Le Grand H (2009). Validation du modèle de transport en phase dissoute par traçage à la rhodamine-WT. Convention IRD/Vale-Inco, N° 2131, 2009, 152p.

Fernandez JM, Moreton B, Gérard P, Dolbecq M, Belhandouz A (2007). Etat de référence : Qualité physico-chimique des eaux du Canal de la Havannah et de la Baie du Prony (saison humide). Convention n°1312.

Fernandez JM, Le Grand H, Moreton B, Dolbecq M, Damien P (2010). Suivi environnemental 2009: Qualité physico-chimique et concentrations en métaux dissous des eaux. Convention n°C2284/E13517.

Fichez R, Moreton B, Pringault O et Viret H, 2005. Fiche : Caractéristiques physicochimiques des eaux. Convention IRD/Goro-Nickel n° 9104, 56p.

Fichez R, Adjeroud M, Bozec YM, Breau L, Chancerelle Y, Chevillon C, Douillet P, Fernandez JM, Frouin P, Kulbicki M, Moreton B, Ouillon S, Payri C, Perez T, Sasal P, Thébault J (2005). A review of selected indicators of particle, nutrient and metals inputs in coral reef lagoon systems. Aquatic Living Resources 18: 125-147.

Holmes RM, Aminot A, Kérouel R, Bethanie A, Hooher A, Peterson BJ (1999). A simple and precise method for measuring ammonium in marine and freshwater ecosystems. Canadian Journal of Fisheries and Aquatic Science. 56: 1801-1808.

Le Grand H, Dolbecq M, Moreton B, Goyaud A, Fernandez JM (2010). Suivi environnemental colonne d'eau 2010-2012 : Qualité physico-chimique des eaux et concentrations en métaux dissous. Suivi saison humide (mars 2010). Convention n°C2445.

Le Grand H, Dolbecq M, Kerbrat AS, Goyaud A, Haddad L, Creuzil J, Fernandez JM (2011). Suivi environnemental colonne d'eau 2010-2012 : Qualité physico-chimique des eaux et concentrations en métaux dissous. (St15 et St16 : mars, avril, août et novembre 2011). Convention n°C2445.

Le Grand H, Moreton B, Dolbecq M, Haddad L, Roupsard F, Douchin C, Dubuc A, Creuzil J, Fernandez JM (2011). Suivi environnemental colonne d'eau 2010-2012 : Qualité physico-chimique des eaux et concentrations en métaux dissous. (1er semestre 2011). Convention n°C2445.

Lorenzen CJ (1966). A method for the continuous measurement of in vivo chlorophyll concentration. Deep Sea Research, 13: 223-227.

Mullin JB, Riley JP (1955). The colorimetric determination of silicate with special reference to sea and natural waters, Analytica Chimica Acta, 12: 162-176.

Murphy J, Riley JP, 1962. A modified single solution method for the determination of phosphate in natural waters, Analytica Chimica Acta, 27: 31-36.

Oudot C, Montel Y, 1988. A high sensitivity method for the determination of nanomolar concentrations of nitrate and nitrite in seawater with a Technicon Autoanalyzer II, Marine Chemistry, 24: 239-252.

Ouillon, S, Douillet, P, Lefebvre, JP, Le Gendre, R, Jouon, A, Bonneton, P, Fernandez, JM, Chevillon, C., Magand, O., Lefèvre, J., Le Hir, P., Laganier, R., Dumas, F., Marchesiello, P., Bel Madani, A., Andrefouët, S., Panché, J.Y., Fichez, R., 2010. Circulation and suspended sediment transport in a coral reef lagoon: the southwest lagoon of New Caledonia. Marine Pollution Bulletin, Special issue PNEC New-Caledonia.

Raimbault P, Coste B, Fry J (1990). Feasibility of measuring an automated colorimetric procedure for the determination of seawater nitrate in the 0 to 100 nM range: examples from field and culture. Marine Biology 104: 347-351.

Strickland JDH, Parsons TR (1972). A practical handbook of sea water analysis. Bulletin of the Fisheries Research Board of Canada, 167:207-211.

8.2. Sédiments marins

Mayer LM, Fink LK, 1979. Granulometric control of chromium accumulation in estuarine sediments in Maine. Estuarine and Coastal Marine Science, 11, pp 491–503.

Ackermann F, 1980. A procedure for correcting the grain size effect in heavy metal analyses of estuarine and coastal sediments. Environment Technology Letters 1, pp 518–527.

Deely, JM, Fergusson, JE, 1994. Heavy metal and organic matter concentrations and distribution in dated sediments of a small estuary adjacent to a small urban area. Science of the Total Environment, 153, pp 97–111.

He Q, Walling, DE, 1996. Interpreting particle size effects in the adsorption of Cs-137 and unsupported Pb-210 by mineral soils and sediments. J. Environ. Radioac., 30 (2), pp 117-137.

Tessier A, Campbell PGC, Bisson M, 1979. Sequential procedure for the speciation of particulate trace metals. Analytical Chemistry, 51, pp. 844-851.

8.3. Suivis des écosystèmes coralliens et des populations associées

Aeby G.S., Tribollet A., Lasne G., Work T.M., in press. Assessing threats from coral and CCA disease on the reefs of New Caledonia. Journal of Marine and Freshwater Research

Adjeroud M. et Lasne G., 2011. Fiche n° 19 : Abondance des colonies coralliennes. In Beliaeff B., Bouvet G., Fernandez J.-M., David C., Laugier T. Guide pour le suivi de la qualité du milieu marin en Nouvelle-Calédonie. Programme ZONECO et programme CNRT Nikel et son environnement, pages 152-153

Adjeroud M. et Lasne G., 2011. Fiche 20: Recouvrement corallien. In Beliaeff B., Bouvet G., Fernandez J.-M., David C., Laugier T. Guide pour le suivi de la qualité du milieu marin en Nouvelle-Calédonie. Programme ZONECO et programme CNRT Nikel et son environnement, pages 154-155

Andréfouët S., Torres-Pulliza D., 2004. Atlas des récifs coralliens de Nouvelle-Calédonie, IFRECOR Nouvelle-Calédonie, IRD, Nouméa, Avril 2004, 26p + 22 planches

Arias-González J.E., Legendre P., Rodríguez-Zaragoza F. A., 2008. Scaling up beta diversity on Caribbean coral reefs Journal of Experimental Marine Biology and Ecology 366, 28–36

Avias J., 1959. Les récifs coralliens de la Nouvelle-Calédonie et quelques-uns de leurs problèmes. Extrait du Bul. Soc. Géo. Fr, 7è série, t.l, p 424-430

Baker et Collier, 1966. Some empirical results on variance ratios under permutation in the completely randomized design. J. Amer. Statist. Ass. 61, 813-820

Baudry et Baudry-Lavel, 1982. La mesure de la diversité spatiale. Relation avec la diversité spécifique, utilisation dans les évaluations d'impact. Acta Oecologica, Oecol. Applic., 3(2), 177-190

Bellwood D.R., Hughes T.P., 2001. Regional-scale assembly rules and biodiversity of coral reefs. Science 292, 1532–1534

Bellwood D.R., Hughes T.P., Connolly S.R., Tanner J., 2005. Environmental and geometric constraints on Indo_Pacific coral reef biodiversity. Ecology Letters 8, 643–651

Bemvenuti C. E., Rosa-Filho J. S., Elliott M., 2002. Changes in soft-bottom macrobenthic assemblages after a sulphuric acid spill in the Rio Grande Harbor (RS, Brazil). Braz. J. Biol., 63(2): 183-194, 2003. 12p

Benzoni F., Lasne G., Pichon M., Payri C., 2008. Patterns of zooxanthellate scleractinia biodiversity in New Caledonia Biodiversity and Diversification of Reef Organisms. Coral reef symposium 2008

Box et Andersen, 1955. Permutation theory in the derivation of robust criteria and the study of departures from assumption. J.Roy. Statist. Soc., Ser. B 26, 211-252

Cabioch G., Payri C. & Pichon M., 2002. Mission Nouvelle-Calédonie. Octobre-novembre 2001. Forages îlot Bayes. Morphologie générale et Communautés algo-coralliennes. In : Cabioch G., Payri C., Pichon M., Corrège T., Butscher J., Dafond

N., Escoubeyrou K, Ihilly C., Laboute P., Menou J.L. & Nowicki L., 2002. Forages sur l'Ilot Bayes sur le récif barrière de Poindimié (côte Est de Nouvelle-Calédonie) du 7 septembre au 27 octobre 2001. Rapports de mission, Sciences de la Terre, Géologie - Géophysique, Centre de Nouméa, n° 47 : 22 p. + annexes

Chevalier J.P., 1964. Compte-rendu des missions effectuées dans le Pacifique en 1960 et 1962 (Mission d'étude des récifs coralliens de Nouvelle Calédonie). Cah. Pac., 6 : 172-175

Chevalier J.P., 1968. Géomorphologie de l'île Maré. Les récifs actuels de l'île Maré. Les Madréporaires fossiles de Maré. in : Expéd. fr. sur les récifs coralliens de la Nouvelle-Calédonie. Paris : Singer-Polignac. 3 : 1-155

Chevalier J.P., 1971. Les Scléractiniaires de la Mélanésie française (Nouvelle-Calédonie, "les Chesterfield, "les Loyauté, Nouvelles Hébrides). 1ère partie. in : Expéd. fr. sur les récifs coralliens de la Nouvelle-Calédonie. Paris : Singer-Polignac. 5 :307 p

Chevalier J.P., 1973. Coral reefs of New Caledonia. in : JONES O.A, ENDEAN R. (ed.) : Biology and geology of coral reefs. New York : Acad. Press. Vol 1, Geol. 1 : 143-166

Chevalier J.P., 1975. Les Scléractiniaires de la Mélanésie française. 2ème partie. in : Expéd. fr. sur les récifs coralliens de la Nouvelle-Calédonie. Paris : Singer-Polignac. Vol. 7 : 407 p

Chevalier J.P., 1980. Les coraux du lagon de la Nouvelle-Calédonie. in : DUGAS F., DEBENAY J.P. Carte sédimentologique et carte annexe du lagon de Nouvelle-Calédonie à 1/50 000. Feuille la Tontouta. Paris : ORSTOM. Not. Explic., 86 : 17-22

Chorus I. & Bartram J., 1999. Toxic Cyanobacteria in Water: A guide to their public health consequences, monitoring and management. Geneva: World Health Organization, 416

Clua E., Legendre P., Vigliola L., Magron F., Kulbicki M., Sarramegna S., Galzin,R., 2006. Medium scale approach (MSA) for improved assessment of coral reef fish habitat. Journal of Experimental Marine Biology and Ecology, 333(2), 219–230

Cochran W.G., 1947. Some consequences when the assumptions for the analysis of variance are not satisfied. Biometrics 3, 22-

Cochran W. G., 1951. Testing a linear relation among variances. Biometrics 7: 17-32

Condit R., Pitman N., Leigh Jr. E.G., Chave J., Terborgh J., Foster R.B., Núñe, P., Aguilar S., Valencia R., Villa G., Muller-

Landau H.C., Losos E., Hubbell S.P., 2001. Beta-diversity in tropical forest trees. Science 295, 666-669

Dagnelie P., 1975. Théorie et méthodes statistiques, Les Presses Agronomiques de Gembloux, (Vol II) 463 p

Donaldson, 1968. Robustness of the F-test to error of both kinds and the correlation between the numerator and denominator of the F-ratio. J. Amer. Statist. Ass. 63. 660-676

Douillet P. et Fernandez J.M., 2009. Etude sur le comportement, la dispersion et les effets biologiques des effluents industriels dans le lagon sud de la NC. Modélisation et simulation du transport des formes particulaires d'origine naturelle. Simulation annuelle de la sédimentation des particules naturelles en contact avec l'effluent. Convention IRS/Goro-Ni n°1124, 55p

English S. and al., 1997. Survey manual for tropical marine resources (2nd Edition). Australian Institute of Marine Science. 390p

Faure G., Thomassin B., Vasseur P., 1981. Reef coral assemblages on the windward slopes in the Noumea Lagoon (New Caledonia). Proc. 4th int. Coral Reef Symp., Manila, 18-22 May 1981. 293-301Fernandez J-M. et Moreton B., 2013. Rade Nord: physico-chimie de la colonne d'eau consécutivement au passage du cycloneFréda. Rapport AEL A130117-V-002, contrat Vale-NC/AEL n°E54930, 33p

Fisk D., 2009. Best practice for LIT survey. Coral list Vol4 Issue 28

Fogg G.E., 1975. Algal cultures and Phytoplancton ecology. 2e éd., Univ. Wisconsin in Press.. Madison and Milwaukee, 3-175

Friedman M., 1937. The use of ranks to avoid the normality implicit in the analysis of variance. J. Amer. Statist. Ass. (32) 675-701p

Frontier S., 1982. Réflexions pour une théorie des écosystèmes. Bull. Ecol. 8 (4): 445-464

Gabrié C., Cros A., Chevillon C., Downer A. 2005. Analyse Eco-régionale marine de Nouvelle-Calédonie. Atelie d'identification des aires de conservation prioritaire. 112p

Gabrié C., Garrigue C., Kulbicki M., Laboute P., Lebigre J.M., Lasne G., Payri C., Pichon M., Richer de Forges B., Spaggiari J., Renoux R., Dec 2008. Analyse Eco-régionale Marine de la Nouvelle-Calédonie

Garrigue C., 1985. Répartition et production organique et minérale de macrophytes benthiques du lagon de Nouvelle Calédonie. Thèse, Université des Sciences et Techniques du languedoc, Montpellier, 270 pp

Garrigue C. & Tsuda R.T., 1988. Catalog of marine benthic algae from New Caledonia. Micronesico, 21, 53-70

Garrigue C. & Di Matteo A., 1991. La biomasse végétale benthique du lagon sud-ouest de Nouvelle-Calédonie. Résultats bruts : liste taxonomique, biomasses, pigments chlorophylliens. Arch. Sci. Mer, Biol. iiiur., ORSTOM, Nouniea, 1, 143 pp

Geary, 1956. Test de la normalité. Ann. Inst. Poincaré 15, 35-65

Ginger Soproner, 2013. Avis sur les mortalités observées en juillet 2013, Rapport final, 29p

Goldman J.C. & Carpenter E.J., 1974. A kinetic approach to the effect of temperature on algal growth. Limnol. Oceanogr. 19: 756-66

Guille A., Menou J. L., Laboute P., 1986. Guide des étoiles de mer, oursins et autres échinodermes du lagon de Nouvelle- Calédonie. Edition de l'ORSTOM. 238p

Hack, 1958. An empirical investigation into the distribution of the F-ratio in samples from two non-normal populations. Biometrika 45, 260-265

Harborne A.R., Mumby P.J., Zychaluk K., Hedley J.D., Blackwell P.G., 2006. Modeling the beta diversity of coral reefs. Ecology 87, 2871–2881

Harmelin-Vivien M.L., J.G. Harmelin, C. Chauvet, C. Duval, R. Galzin, P. Lejeune, G. Barnabé, F. Blanc, R. Chevalier, J.

Duclerc, G. Lasserre, 1985 – Evaluation visuelle des peuplements et populations de poissons : méthodes et problèmes. Revue d'Ecologie (Terre et Vie), vol. 40 : 80p

Hatcher B.G., 1997. Coral reef ecosystems: how much greater is the whole than the sum of the parts? Coral Reefs 16, S77–S91

Hawkins Sigrid V., 2006. "Feeding Preference of the Cushion Star, Culcita Novaeguineae in Mo'orea" (December 1, 2006). Water Resources Center Archives. Biology and Geomorphology of Tropical Islands (ESPM 107/IB 158)

Kinne O., 1980. Introduction to the treatise and to Volume 1, in: Kinne, O.(1980). Diseases of marine animals: 1. General aspects, Protozoa to Gastropoda. pp. 1-11

Kinne O., 1980. Diseases of marine animals: general aspects, in: Kinne, O. (1980). Diseases of marine animals: 1. General aspects, Protozoa to Gastropoda. pp. 13-73

Kruskal W., Wallis W.A., 1952. Use of ranks in one-criterion variance analysis. Journal of the American Statistical Association 47 (260): 583–621

Kulbicki M., Guillemot N., Amand M., 2005 - A general approach to length-weight relationships for New Caledonian lagoon fishes. Cybium 2005, 29 (3): 235-252

ANNEXE 1. Méthodologies

Kulbicki M., Sarramagna S., 1999. Adequacy of several density estimates obtained from underwater visual censuses: a case study of Chaetodontidae and Pomacanthidae. Aquatic Living Resources 12, 315±325

Laboute P., 1988. The presence of scleractinian corals and their means of adapting to a muddy environment: the "Gail Bank", p. 107-111, graph., phot. - International Coral Reef Symposium, 1988/08/8-12, Townsville

Laboute P., Grandperrin R., 2000. Poissons de Nouvelle-Calédonie, Nouméa : Catherine Ledru, 519p

Laboute P. et Magnier Y., 1978. Guide sous-marin de Nouvelle-Calédonie. Ed. du Pacifique, Papeete (Polynésie Française) : 160p

Labrosse P., Kulbicki M., Ferraris J., 2001. Comptage de poissons en plongée. Conditions d'utilisation et de mise en oeuvre. Ed. SPC Nouméa, Nouvelle-Calédonie. 54p

Lasne G., 2006. Synthèse bibliographique des coraux de Nouvelle-Calédonie. C. de coord. CRISP / IRD p93

Lasne G., 2007. Les coraux de Nouvelle-Calédonie : Synthèse bibliographique. Cellule de coordination CRISP, IRD, WWF, MNHN, EPHE. 93p

Lasne G., 2009. Inventaire des coraux scléractiniaires du Grand Lagon Nord – Mission CoRalCal 3-IRD. (CRISP). 119p

Lasne G., 2010. Inventaire des coraux scléractiniaires du Grand Lagon Nord de la Nouvelle-Calédonie – Campagne CORALCAL III, 10-30 mars 2009. 122p / Cellule de coordination CRISP, IRD. 120p

Lasne G., 2014. Estimation temporelle de la colonisation biotique sur la partie rompue de l'émissaire marin et évaluation de l'état de santé des communautés récifales aux abords de cette rupture. Rap 135-2014_V02. 19p

Lasne G. in Clua E., McKenna S., Vieux C., 2011. Contribution à l'inventaire biologique et à l'évaluation des ressources des récifs des Chesterfield – Apia, Samoa : SPREP

Legendre P., Borcard D. and Peres-Neto R.P., 2005. Analysing Beta Diversity: Ecological Monographs, 75 (4):435-50

Legendre P. et Legendre L., 1998. Numerical Ecology. Ed. : Elsevier. p 852

Le Grand H., Kaplan H., Raynal A., Fernandez J.M., 2014. Suivi renforcé de la qualité physico-chimique de l'eau de mer de la station Puka A. 46p

Levi C., Bargibant G., Menou J.L., Laboute P., 1998. Sponges of the New Caledonian Lagoon. Edition de l'ORSTOM. 214p

Météo France, 2013. Bulletin météorologique exceptionnel. http://www.meteo.nc/actualites/364-episode-pluvieux-debut-juillet-2013

Mundy C., 1985. These about accuracy and precision of the LIT method. James Cook University Townsville

Ormond R.F.G., Roberts C., 1997. The biodiversity of coral reef fishes. In: Ormond, R.F.G., Gage, J.D., Angel, M.V. (Eds.), Marine Biodiversity: Patterns and Processes. Cambridge University Press, pp. 216–257

Ornellas A.B. and Coutinho R., 1998. Spatial and temporal patterns of distribution and abundance of a tropical fish assemblage in a seasonal Sargassumbed, Cabo Frio Island, Brazil. J. Fish Biol, 53 (A): 198-208

Parrish J. D., 1989. Fish communities of interacting shallow-water habitats in tropical oceanic regions. Mar. Ecol. Prog. Ser. 58: 143-160

Payri C.E., 1988. Halimeda contribution to organic and inorganic production in a Tahitian reef system. Coral Reefs, 6,251-262

Payri C.E. & N'Yeurt A.D.R., 1997. A revised Checklist of Polynesian benthic Marine Algae, Australian Systematic Botany, 10: 867-910

Payri C., N'Yeurt A.R. & Orempüller J., 2001. Algae of french Polynesia -Algues de Polynésie Française. Edition Au Vent des îles - Tahiti, 320pp

Payri C. et Richer de Forges B., 2006. Compendium of marine species from New Caledonia. Doc. Sci. Tech. II7 volume spécial, IRD

Payri C., Petek S., Menou J.L., Lasne G., Butscher J., 2007. Biodiversité et substances marines des îles Fidji (Algues, Eponges, Ascidies, Echinodermes)

Pearson E.S. et Hartley H.O., 1966. Biometrika tables for statisticians (Vol I) University Press, Cambridge, 264p

Pichon M., 2006. Biodiversité des coraux scléractiniaires de Nouvelle-Calédonie. Rapport sur la mission effectuée à Nouwéa/Nouvelle-Calédonie du 4 au 21 mai 2006. Rapports de mission confidentiels

Pichon M. 2006. Scleractinia of New-Caledonia. Check list of reef dwelling species. Rapports de mission confidentiels

5 Pichon M., 2006. Scleractinia of New-Caledonia. in Payri C. et Richer de Forges B., (eds). Compendium of marine species from New Caledonia. Doc. Sci. Tech. II7 volume spécial, IRD: 148-155

Pichon M. et al., 2007. Biodiversité des coraux scléractiniaires de Nouvelle-Calédonie. Rapport de mission confidentiel du Diahot du 17 novembre au 12 décembre 2006 (EPHE), 26p

Randall J.E., Allen G.R. and R.C. Steene, 1990. Fishes of the Great Barrier Reef and Coral Sea. University of Hawaii Press, Honolulu, Hawaii. 506p

Randall J.E., 2005. Reef and shore fishes of the South Pacific. University of Hawaii, Press book. 707 p

Richer de Forges B., 1998. Thèse : La diversité du Benthos marin de Nouvelle-Calédonie : de l'espèce à la notion de patrimoine. Muséum national d'histoire naturelle. 326p

Richer de Forges B., Laboute P., 2004. Lagons et récifs de Nouvelle-Calédonie, 1600 espèces. Edition Catherine Ledru-IRD

Risk M.J., Risk A.C., 1997. Reef surveys as an aid in management. Proc. 8th Intl. Coral Reef Sym. 2, 1471±1474.

Sato M., 1984. Mortality and growth of juvenile coral Pocillopora damicornis (Linnaeus) Univ. Ryukyus, dep. marine sci., Okinawa 903 01, JAPON

SLE 1995. Projet Goro Nickel, Nouvelle-Calédonie. Etude de caractérisation de l'environnement. Rapp. SNC-Lavalin/INCO

Soubeyran Y., Meyer J.Y. et le Groupe de travail « Espèces Exogènes », 2011. Expertise du « Plan opérationnel pour la maîtrise des espèces exogènes » de la société Vale Nouvelle-Calédonie. Rapport final. 34p

Spalding M.D., Ravilious C. & Green E.P., 2001. World atlas of coral reefs. University of California Press, 424 p

Srivastava, 1959. Effect of non-normality on the power of the analysis of variance test. Biometrika 46, 114-122

Thollot P., 1992. Les poissons de mangrove du lagon Sud-Ouest de Nouvelle-Calédonie. Ecologie des peuplements. Relations avec les communautés ichtyologiques côtières. Thèse Doct. : Univ. Aix-Marseille II (France) : 406p

Thollot P. et Wantiez L., 1996. Evaluation des impacts du projet Goro Nickel sur les communautés biologiques marines de la Baie Kwé et de la zone portuaire de Prony. 38p

Trescases J.J., 1969. Premières observations sur l'altération des péridotites en Nouvelle-Calédonie. Pédologie, géochimie et géomorphologie. Cah. ORSTOM, Ser. Géol. 1 : 27-57

ANNEXE 1. Méthodologies

UICN, 2001. Catégories et Critères de l'UICN pour la Liste Rouge : Version 3.1. Commission de la sauvegarde des espèces de l'UICN, UICN, Gland, Suisse et Cambridge, Royaume-Uni. ii + 32pp

Veron J.E.N., Pichon M., 1980. Scleractinia of Eastern Australia. Part 3. Families Agaricidae, Siderastreidae, Fungiidae, Oculinidae, Merulinidae, Mussidae, Pectinidae, Caryophyllidae, Dendrophylliidae. Mem. Austral. Inst. Marine Sci. 4. 422 pp

Veron J.E.N.., Wallace C.C., 1984. Scleractinia of eastern Australia. IV Familly Acroporidae. Aust. Inst. Mar. Sci. Monogr. Ser. 6. 485p

Veron J.E.N., 1986. Coral of Australia and the Indo-Pacific. Angus and Robertson Publishers. 644p

Veron J.E.N., 1995. Corals in space and time, the biogeography and evolution of the Scleractinia. UNSW Press, Sydney. 321p

Veron J.E.N., 2000. Corals of the world. Australian Institute of Marine Science, Townsville, 1410pp

Wallace C., 1994. New species and a new species-group of the coral genus Acropora (Scleractinia: Astrocoeniina: Acroporidae) from Indo-Pacific locations. Invert. Tax. 8: 961–88

Wallace C., 1997. New species of the coral genus Acropora and new records of recently described species from Indonesia. Zool. J. Linn. Soc. 120: 27–50

Wallace C., 1999. Staghorn Corals of the World. A revision of the Genus Acropora. (ed) CSIRO Publishing pp. 422p

Wallace C. & Willis B.L., 1994. Systematics of the coral genus Acropora: implications of new biological findings for species concepts. Annu. Rev. Ecol. Syst., 25: 237-262

Wallace C. et Wolstenholme J., 1998. Revision of the coral genus Acropora in Indonesia. Zool. J. Linn. Soc. 123: 199–384

Wells J.W., 1959. Notes on Indo-Pacific Scleractinian corals. Part 1 and 2. Pac. Sci., 13 (3): 286-290

Wells J.W., 1961. Notes on Indo-Pacific Scleractinian corals, Part 3. A new reef coral from New Caledonia. Pac. Sci., 15: 189-191

Wells J.W., 1964. The recent solitary Mussid Scleractinian corals. Zool. Meded., Leiden, 39: 375-384

Wells J.W., 1968. Notes on Indo-Pacific Scleractinian corals. Parts 5 and 6. Pac. Sci., 22 (2): 274-276

Wells J.W., 1971. Notes on Indo-Pacific Scleractinian corals. Part 7. Pac. Sci., 25 (3): 368-371

Wells J.W., 1984. Notes on Indo-Pacific Scleractinian corals. Part 10. Pac. Sci., 38 (3): 205-219

Whittaker R.H., 1960. Vegetation of the Siskiyou Mountains, Oregon and California. Ecological Monographs 30, 279–338

Whittaker, R. H., 1972. Evolution and measurement of species diversity Taxon 21: 213-251

Whittaker R.H., 1977. Species diversity in land communities. Evolutionary Biology 10, 1-67

Wiebe W.J., 1987. Nutrient pools and dynamics in tropical, marine, coastal environments, with special reference to the Caribbean and Indo-west Pacific regions. UNESCO Rep. Mar. Sci., 46: 19-42

Wijsman-Best M., 1972. Systematics and ecology of New Caledonia Faviidae (Coelenterata, Scleractinia). Bijdr. Dierk., 42 (1): 1-90

Wijsman-Best M., 1973. A new species of the Pacific coral genus Blastomussa from New Caledonia. Pac. Sci., 27 (2): 154-155

Wijsman-Best M., 1974. Habitat-induced modification of reef corals (Faviidae) and its consequences for taxonomy. In: Proceedings of the Second international coral reef symposium (Cameron-A-M editor), Volume 2; coral settlement and growth: 217-228

Wilcoson F., 1945. Individual comprarisons by ranking methods. Biometrics Bulletin 1 (6): 80-83

8.4. Transplantations

AFNOR NF V45056, 1985 AFNOR, 1985. Nonne française huîtres creuses. Dénomination et classification. NF V 45056,5p.

ASTM, 2002. E2122-02: Standard Guide for Conducting in-situ field bioassays with caged bivalves. American Society for Testing and Material – International, West Conshohocken, PA, United States, 30 p.

Beliaeff B., Bouvet G., Fernandez J.M., David C., Laugier T., 2011. Guide pour le suivi de la qualité du milieu marin en Nouvelle-Calédonie. Programme ZONECO et programme CNRT "Le Nickel et son environnement". 169pp.

Breau L., 2003. Etude de la bioaccumulation des métaux dans quelques espèces marines tropicales : Recherche de bioindicateurs de contamination et application à la surveillance de l'environnement côtier dans le lagon sudouest de la Nouvelle-Calédonie. Thèse de Doctorat de l'Université de La Rochelle, Spécialité « Océanologie Biologique et Environnement marin », La Rochelle, France, 318 p. + Annexes.

Breau L., Moreton B., Gérard P., 2009a. Evaluation des apports en métaux dans l'environnement marin tropical par transplantation d'organismes bioaccumulateurs. Rapport Final du Volet 2 « Ecotoxicologie », 2ème Partie, Programme « Etude sur le comportement, la dispersion et les effets biologiques des effluents industriels dans le lagon sud de la Nouvelle-Calédonie, Convention de Recherches IRD/Goro Nickel n°1124, 17/08/09, IRD-Nouméa, 60 p.

Breau L., Goyaud A., Le Grand H., Moreton B., 2009b. Etat de Référence de la Zone Sud du Lagon de Nouvelle-Calédonie: Détermination de la qualité écotoxicologique initiale des eaux par transplantation d'espèces bioindicatrices (Bioaccumulation). Rapport de la Convention de Recherches IRD/Vale Inco NC n°2535, 01/12/2009, IRD-Nouméa, Nouvelle-Calédonie, 30 p.

Clarke K.R., Warwick R.M., 1994. Similarity-based testing for community pattern: the 2-way layout with no replication. Marine Biology, 118, 167-176.

Derex P., Douillet P., Le Gendre R., 2008. Modélisation et transport du transport des formes dissoutes. Modèle de Transport, Simulation annuelle de rejet. Convention IRD/Goro-Ni 1124, 183p.

Douillet P. et Fernandez J.M., 2009. Modélisation et simulation du transport des formes particulaires d'origine naturelle (Canal de la Havannah et Kwé). Modèle de Transport. Simulation annuelle de la sédimentation des particules en contact avec l'effluent. Rapport final. Convention IRD/Goro-Ni, 1124,

Fichez R., Adjerond M., Bozec Y.M., Breau L., Chancerelle Y., Chevillon C., Douillet P., Fernandez J.M., Frouin P., Kulbicki M., Moreton B., Ouillon S., Payri C., Perez T., Sasal P., Thébault J., 2005. A review of selected indicators of particle, nutrient and metals in coral lagoon systems. Aquatic Living Resource, 18: 125-147.

Gilbert A., Fernandez, J.M., 2014. Synthèse des variations spatio-temporelles de l'absorption des métaux chez Isognomon isognomon et Lobophora variegata. Soproner & Ael (2014) Synthèse des variations spatio-temporelles de l'absorption des métaux chez Isognomon isognomon et Lobophora variegata. Rapport final. Convention Soproner/Ael/Vale. 31p.

Hédouin L., Pringault O., Métian M., Bustamante P., Warnau M., 2007. Nickel bioaccumulation in bivalves from the New Caledonia lagoon: Seawater and food exposure. Chemosphere, 666: 1449-1457.

Hédouin L., Bustamante P., Fichez R., Warnau M., 2008. The tropical brown alga Lobophora variegata as a bioindicator of mining contamination in the New Caledonia lagoon: A field transplantation study. Marine Environmental Research 66: 438-444.

Hédouin L., Bustamante P., Churlaud C., Pringault O., Fichez R., Warnau M., 2009. Trends in concentrations of selected metalloid and metals in two bivalves from the coral reefs in the SW lagoon of New Caledonia. Ecotoxicology and Environmental Safety, 72: 372-381.

Hédouin L., Gomez Batista M., Métian M., Buschaizzo E., Warnau M., 2010. Metal and metalloid bioconcentration capacity of two tropical bivalves for monitoring the impact of land-based mining activities in the New Caledonia lagoon. Marine Pollution Bulletin 61: 554-567.

Hédouin L., Pringault O., Bustamante P., Fichez R., Warnau M., 2011. Validation of two tropical marine bivalves as bioindicators of mining contamination in the New Caledonia lagoon: Field transplantation experiments. Water Research 45: 483-496.

Pluchino S., Fernandez J.M., 2014. Caractérisation de la pression par transplantation in-situ du bivalve bioaccumulateur Modiolus auriculatus. Programme ADIIP, CNRT « Le nickel et son environnement (2009) », 37p